



MOHAMMAD AYAZ ALAM
Universidad de Santiago de Chile

GEOTERMIA, una propuesta de valor para minería sustentable y sostenible del LITIO



Solución



Problema

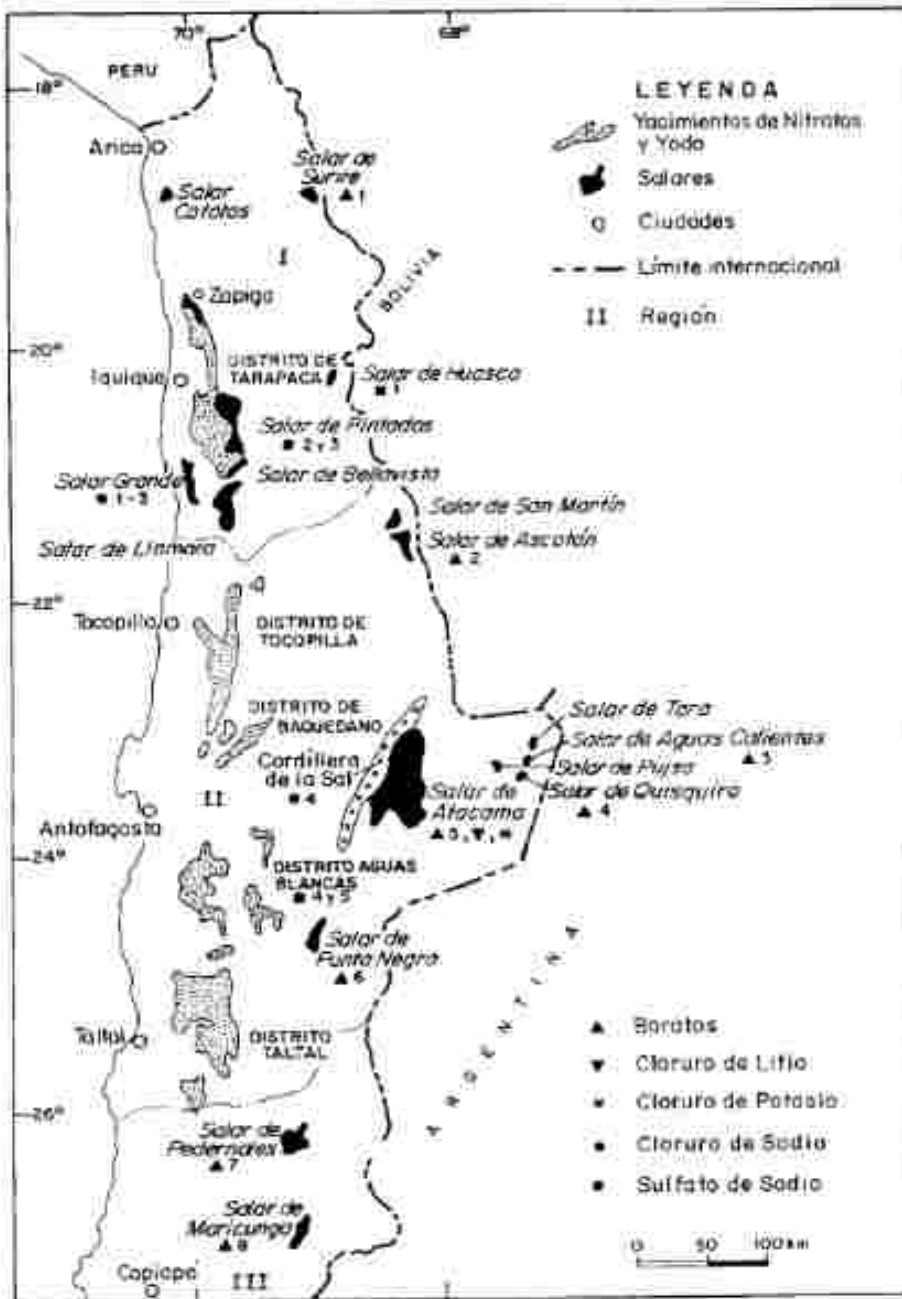
Laguna Santa Rosa

Laguna Verde

FORO DEL
Li tio

DISTRIBUCIÓN DE LOS SALARES CHILENOS

Fuente: SERNAGEOMIN

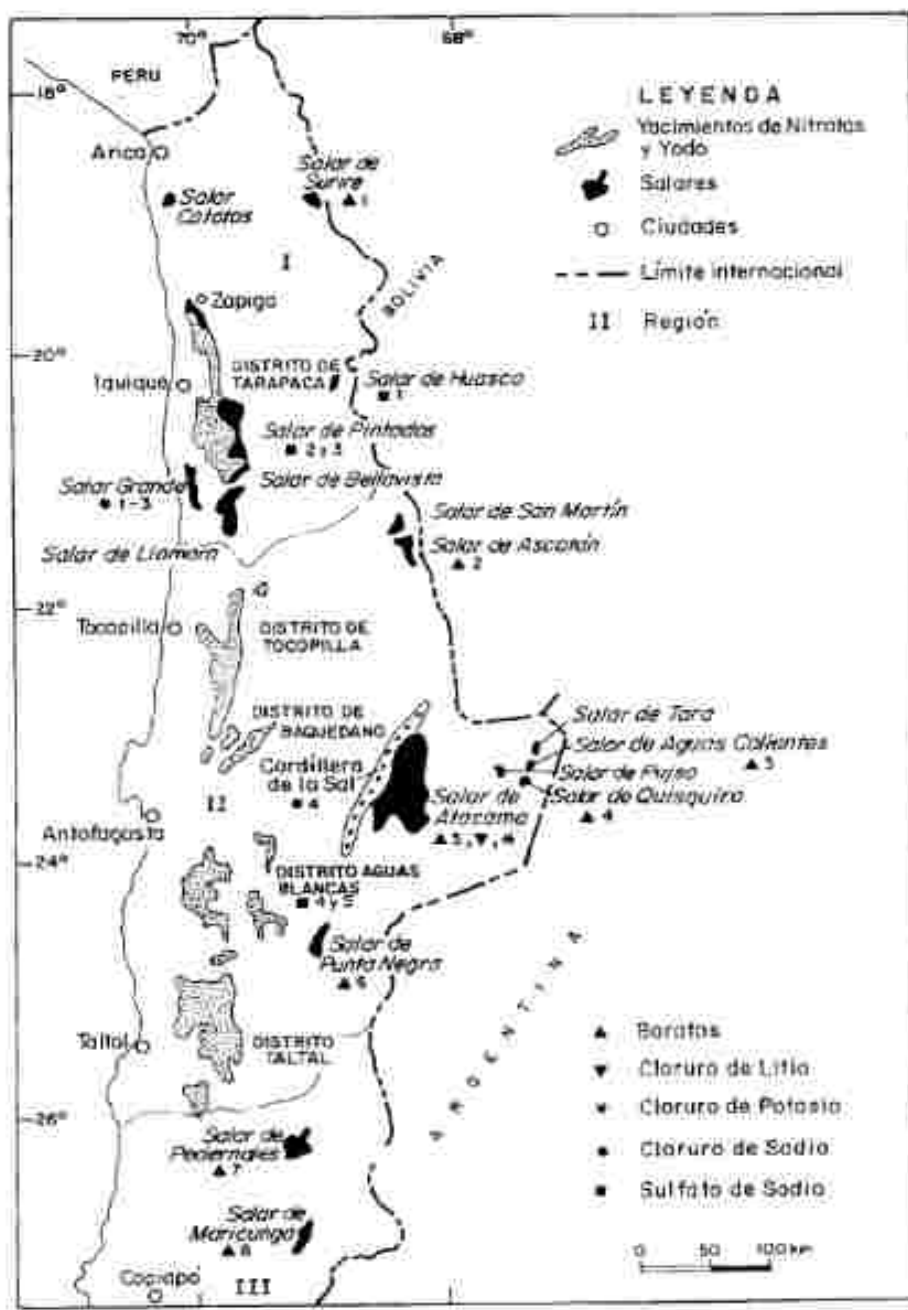


DISTRIBUCIÓN DE LAS FUENTES TERMALES EN EL NORTE DE CHILE

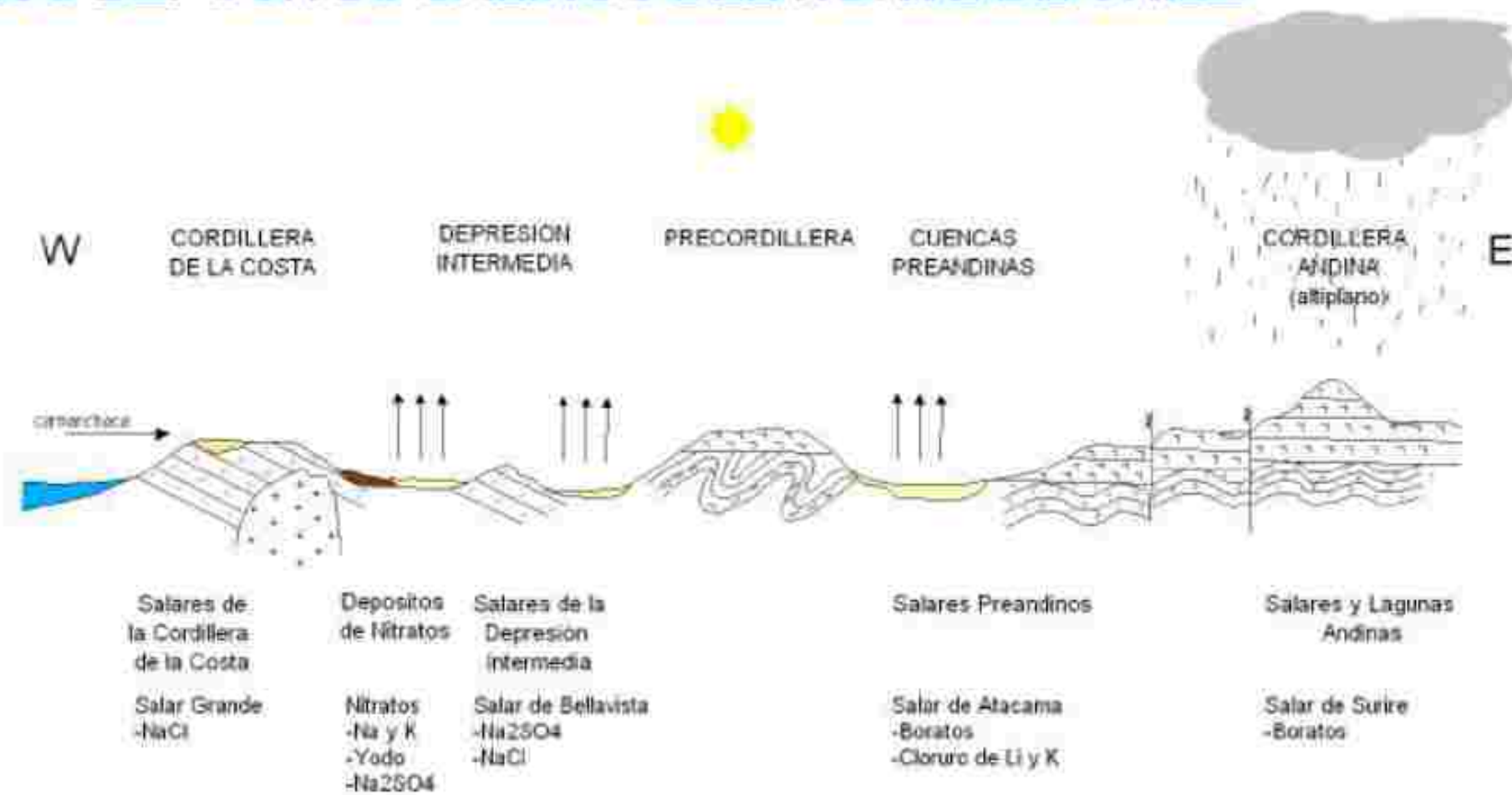
Modificado de Risacher et al. (2011)



SALARES Y FUENTES TERMALES



PERFIL ESQUEMATICO GEOMORFOLOGICO DE LOS DEPOSITOS SALINOS DEL NORTE DE CHILE



PULSO AMBIENTAL

No todo lo que
brilla es LITIO

MARICUNGA
AMENAZADO:
AMBICIÓN, EXTRACTIVISMO
Y RESISTENCIAS FRENTE A
LA DEVASTACIÓN DEL LITIO

LITIO PARA HOY
HAMBRE PARA MAÑANA

EN PELIGRO POR EXTRACCIÓN DE LITIO
FLAMENCOS

"La Devastación del Litio"
Campaña por la defensa
y restitución del salar de Maricunga



THE
WORLD
WE
KNOW
NO AL LITIO
SALAR DE MARICUNGA
RESISTENCIA

COMUNIDAD
EL AGUA VA A MÁS
QUE EL LITIO

CASO SALAR DE MARICUNGA / LAGUNA SANTA ROSA

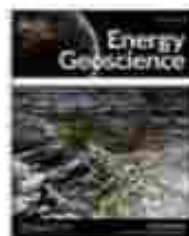
Energy Geoscience 3 (2022) 182–198



Contents lists available at ScienceDirect

Energy Geoscience

journal homepage: www.keaipublishing.com/en/journals/engeos-geoscience



Environmental degradation through mining for energy resources: The case of the shrinking Laguna Santa Rosa wetland in the Atacama Region of Chile



Mohammad Ayaz Alam*, Rosa Sepúlveda

Departamento de Geología, Facultad de Ingeniería, Universidad de Atacama, Avenida Copiapo 485, Copiapo, Región de Atacama, Chile

Alam, M.A., Sepúlveda, R., 2022. Environmental degradation through mining for energy resources: The case of the shrinking Laguna Santa Rosa wetland in the Atacama Region of Chile. *Energy Geoscience*, DOI: [10.1016/j.engeos.2021.11.006](https://doi.org/10.1016/j.engeos.2021.11.006).

CASO SALAR DE MARICUNGA / LAGUNA SANTA ROSA

An assessment of the shrinking of Laguna Santa Rosa, a groundwater-dependent wetland in the Atacama Desert of Chile.

Presentación oral: MEDGU 2021

[https://drive.google.com/file/d/1ygxczskhIMd1I3EM8XrsY4p_qtyIDSMy/view
?usp=sharing](https://drive.google.com/file/d/1ygxczskhIMd1I3EM8XrsY4p_qtyIDSMy/view?usp=sharing)



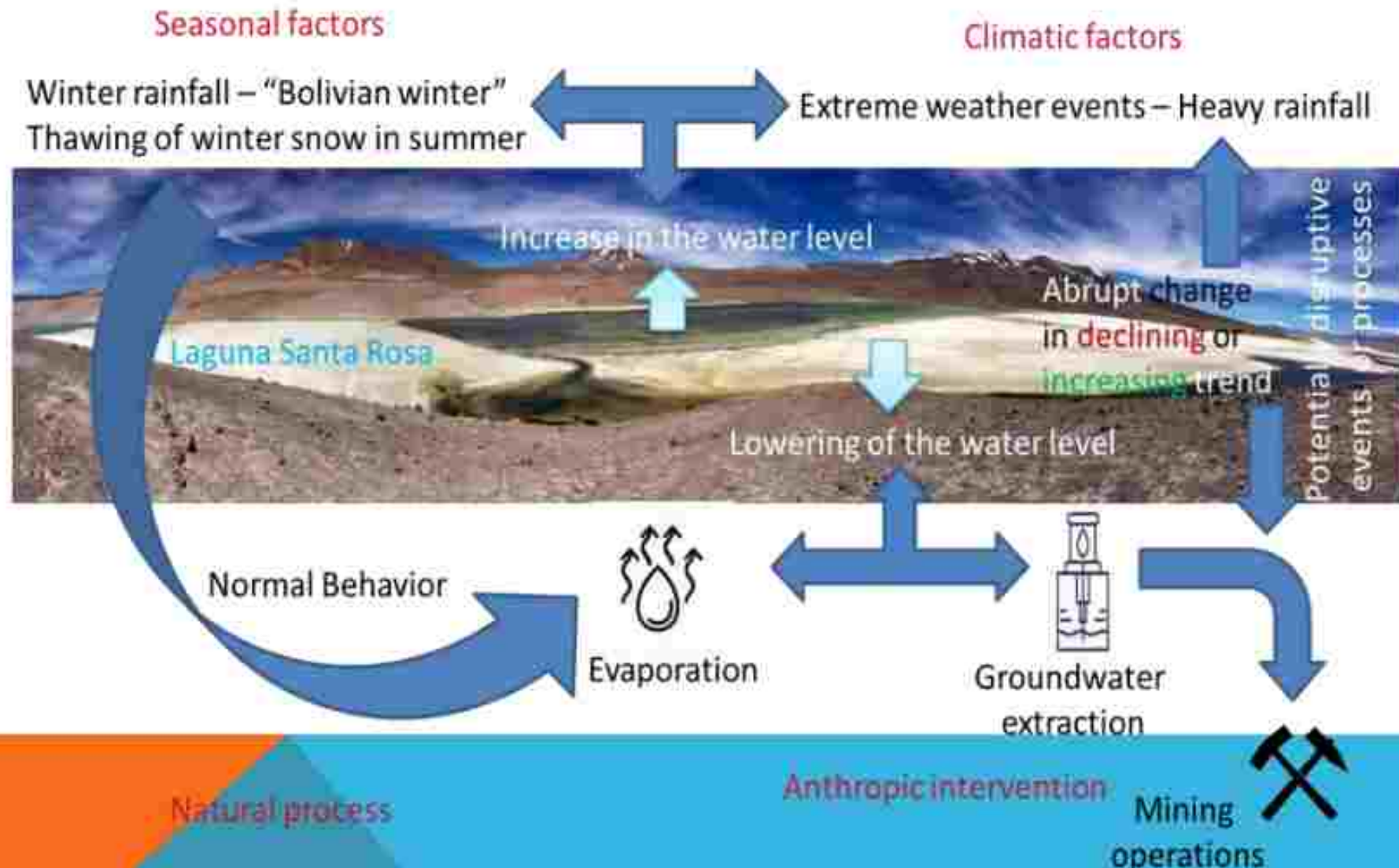
Springer Publishing Partner

An assessment of the shrinking of Laguna Santa Rosa, a groundwater-dependent wetland in the Atacama Desert of Chile

Mohammad Ayaz Alam¹, Rosa Sepúlveda¹

¹ Departamento de Geología, Facultad de Ingeniería, Universidad de Atacama, Copayapu 485,
Copiapó, Región de Atacama, Chile
ayaz.alam@uda.cl

EN RESUMEN ...



Alam, M.A., Sepúlveda, R., 2022. Environmental degradation through mining for energy resources: The case of the shrinking Laguna Santa Rosa wetland in the Atacama Region of Chile. *Energy Geoscience*, DOI: [10.1016/j.engeos.2021.11.006](https://doi.org/10.1016/j.engeos.2021.11.006).

HACÍA UNA SOLUCIÓN ...



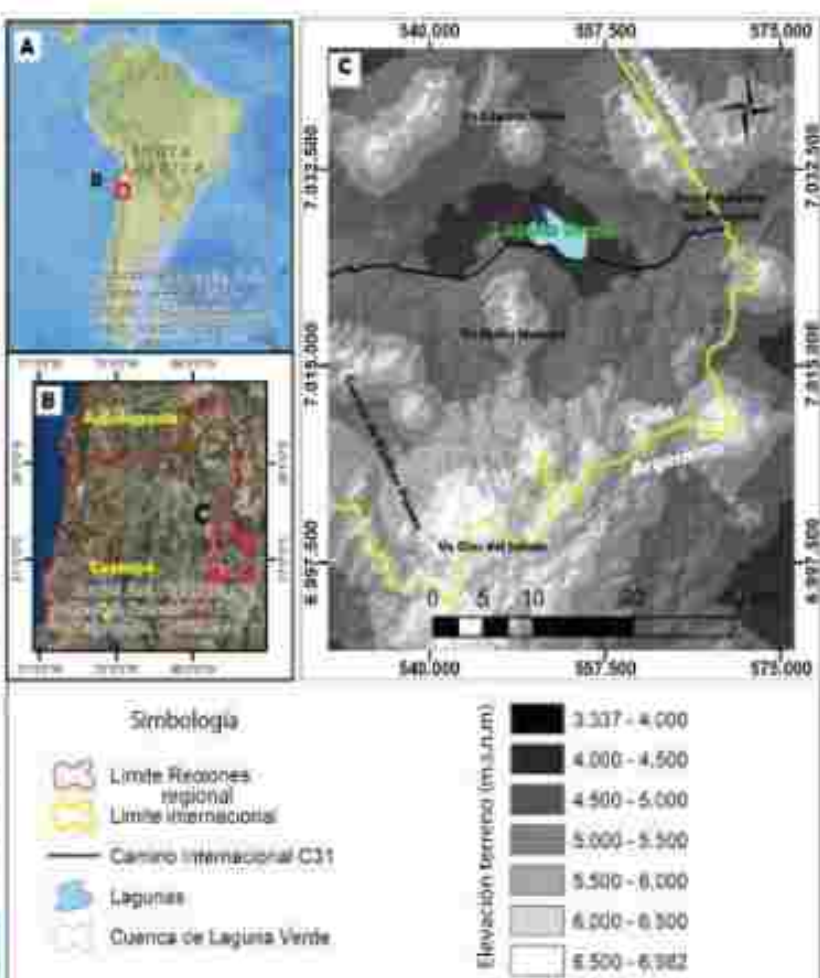
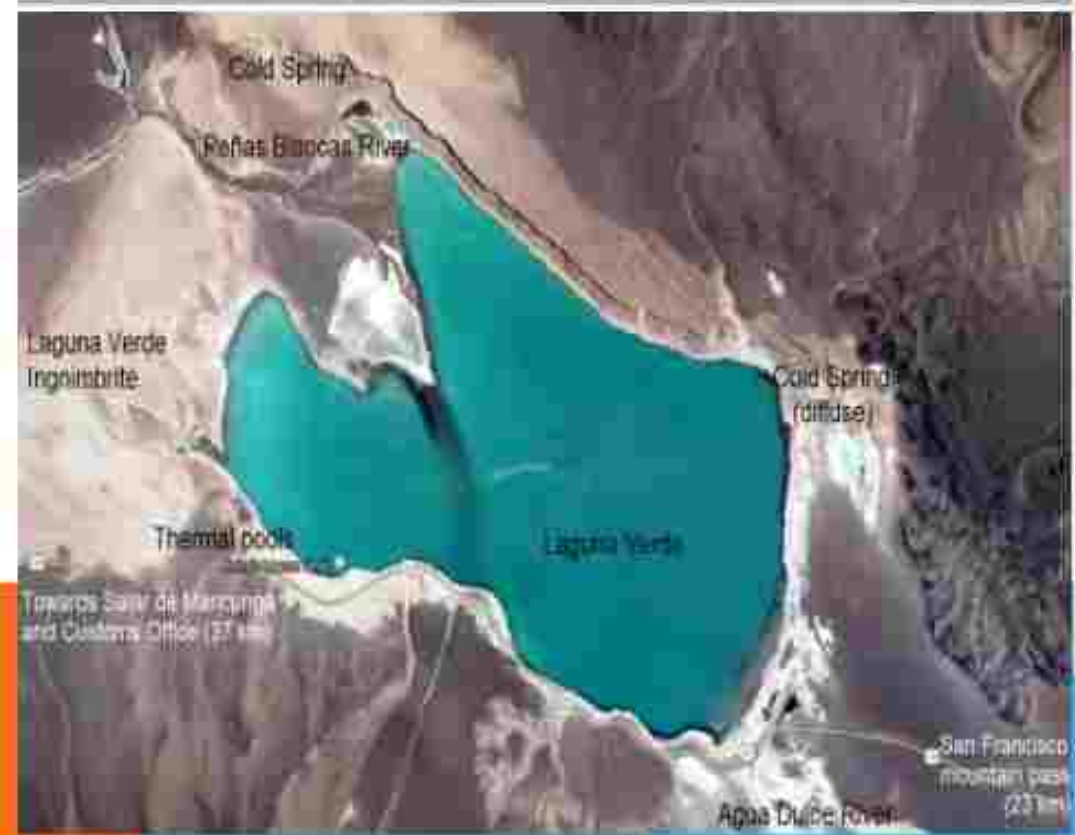
Laguna Verde, Región de Atacama, Chile

PROBLEMA DE INVESTIGACIÓN

- El rol de los fluidos geotérmicos en la formación de salmueras enriquecidas en litio.
- Las evidencias sugieren que las salmueras rentables están asociadas con sistemas geotérmicos activos o fósiles (Hickson y Coolbaugh, 2017; Bradley, 2013), incluso ubicados a varios cientos de kilómetros de distancia (Yu et al., 2013)
- Otros (por ejemplo, Price et al., 2000) sugieren que los procesos de desvitrificación no térmica en cenizas volcánicas pueden incorporar litio en los flujos subterráneos.

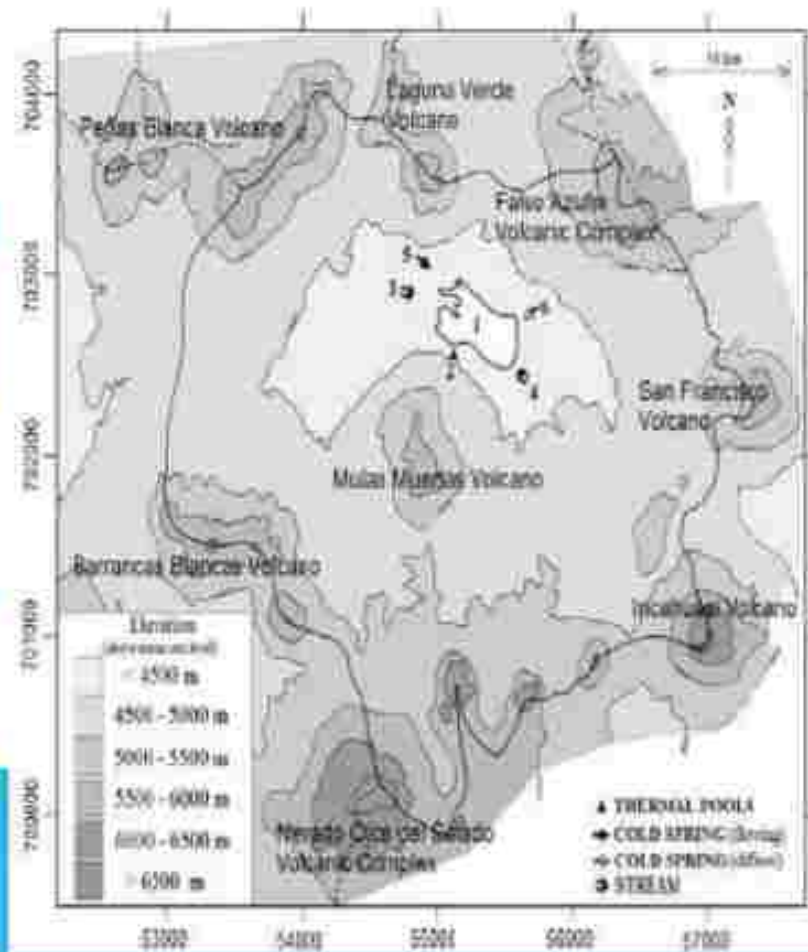
ÁREA DE ESTUDIO: LAGUNA VERDE, REGION DE ATACAMA, CHILE

La presencia de un sistema geotérmico activo y dos ríos que desemboca en el lago hipersalino permiten cuantificar la contribución de Li de diferentes fuentes en el salar de la cuenca de Laguna Verde (LV).



ÁREA DE ESTUDIO: LAGUNA VERDE, REGION DE ATACAMA, CHILE

La presencia de un sistema geotérmico activo y dos ríos que desemboca en el lago hipersalino permiten cuantificar la contribución de Li de diferentes fuentes en el salar de la cuenca de Laguna Verde (LV).



HIPÓTESIS

- ❖ La remoción y el transporte de litio de las rocas de origen se ve favorecida por los fluidos geotérmicos en comparación con los procesos de desvitrificación meteórica (no térmica).
- ❖ El aumento de la actividad volcánica desde el Plioceno Superior y las condiciones climáticas hiperáridos que prevalecen desde el Mioceno Superior han dado las condiciones y el tiempo necesarios para elevar las concentraciones de litio a un nivel económicamente rentable, como se observa hoy en día.

OBJECTIVOS

Evaluar el rol de los fluidos geotérmicos en la remoción, transporte y concentración del litio en el salar de Laguna Verde, Región de Atacama, Chile.

- ❖ Delinear la geología del área de estudio para identificar unidades litológicas portadoras de litio y caracterizar las manifestaciones geotermales.
- ❖ Determinar la composición química e isotópica del agua del lago hipersalino laguna verde, río y arroyos que desembocan en él, y aguas termales y no termales.
- ❖ Identificar los procesos geoquímicos responsables del transporte y deposición de litio en el salar.

OBSERVACIONES



Zona upflow

Volcán Ojos del Salado

Actividad fumarólica reportada en 1937 y 1956

Columna de vapor reportada en 1994

Los montañistas reportaron emisión de vapor (con fotografías) en 2012

Los montañistas reportaron fumarola (con fotografía) en 2013

El equipo de expedición de Extreme Events grabó video desde lejos de las fumarolas en 2019

2021 Dos fumarolas y un charco de condensado

OBSERVACIONES

Zona outflow

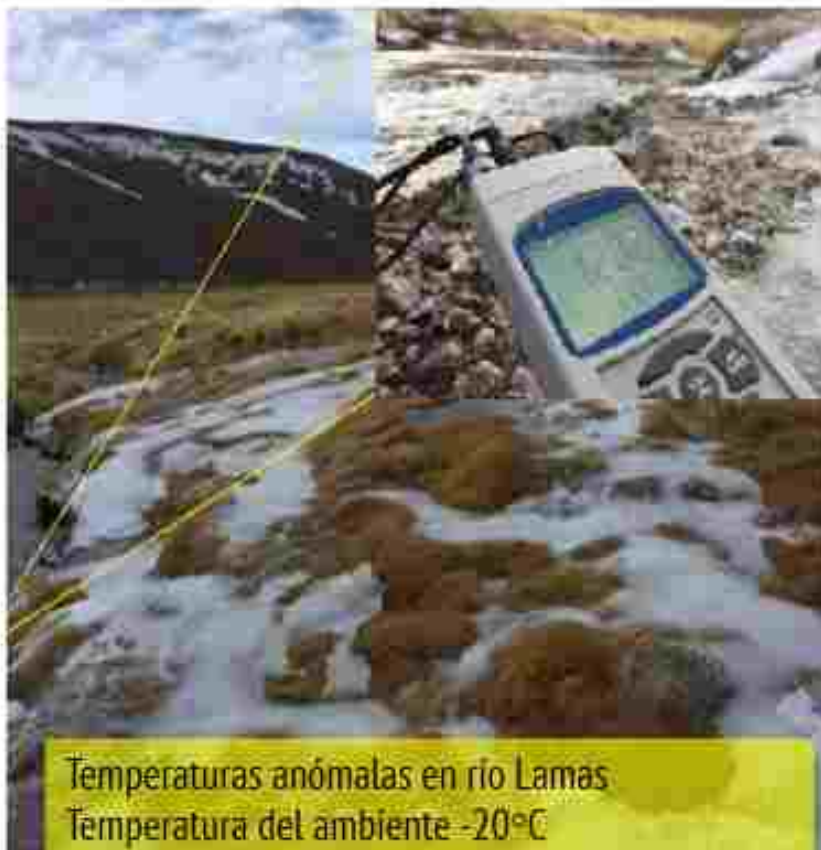


- ❖ Decenas de descargas geotérmicas en la margen sur de Laguna Verde.
- ❖ Alteración argillic y desarrollo de sinters de silice.
- ❖ Además, los organismos extremófilos habitan estas aguas..

MEDICIONES EN TERRENO

Zona outflow

Puntos de medición de las temperaturas	UTM Coordinadas (Datum WGS84 Zona 27)			T° (°C)	Fecha
	Este	Norte	Elev		
P1 (M4-17a)	551.075	7.025.593	4.345	47,0	21-11-2017
				41,2	15-04-2018
				42,1	06-03-2019
P2 (M4-17b)	551.110	7.025.589	4.349	45,0	21-11-2017
P3	550.841	7.025.628	4.351	35,1	06-03-2019
P4	550.267	7.025.989	4.342	28,1	06-03-2019
P5	550.198	7.026.025	4.346	28,4	06-03-2019
P6	550.161	7.026.085	4.346	24,2	06-03-2019
P7	549.947	7.026.361	4.345	22,6	06-03-2019
P8	549.353	7.026.600	4.348	12,2	06-03-2019

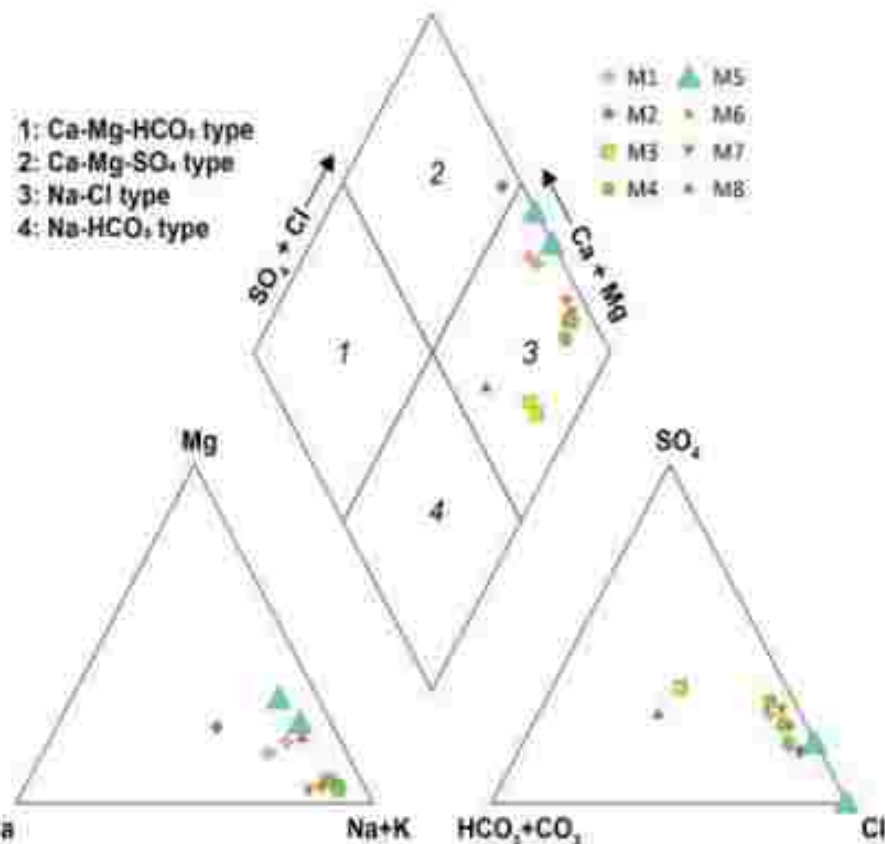


Temperaturas anómalas en río Lamas
Temperatura del ambiente -20°C
Temperatura media anual 1°C

HIDROQUÍMICA

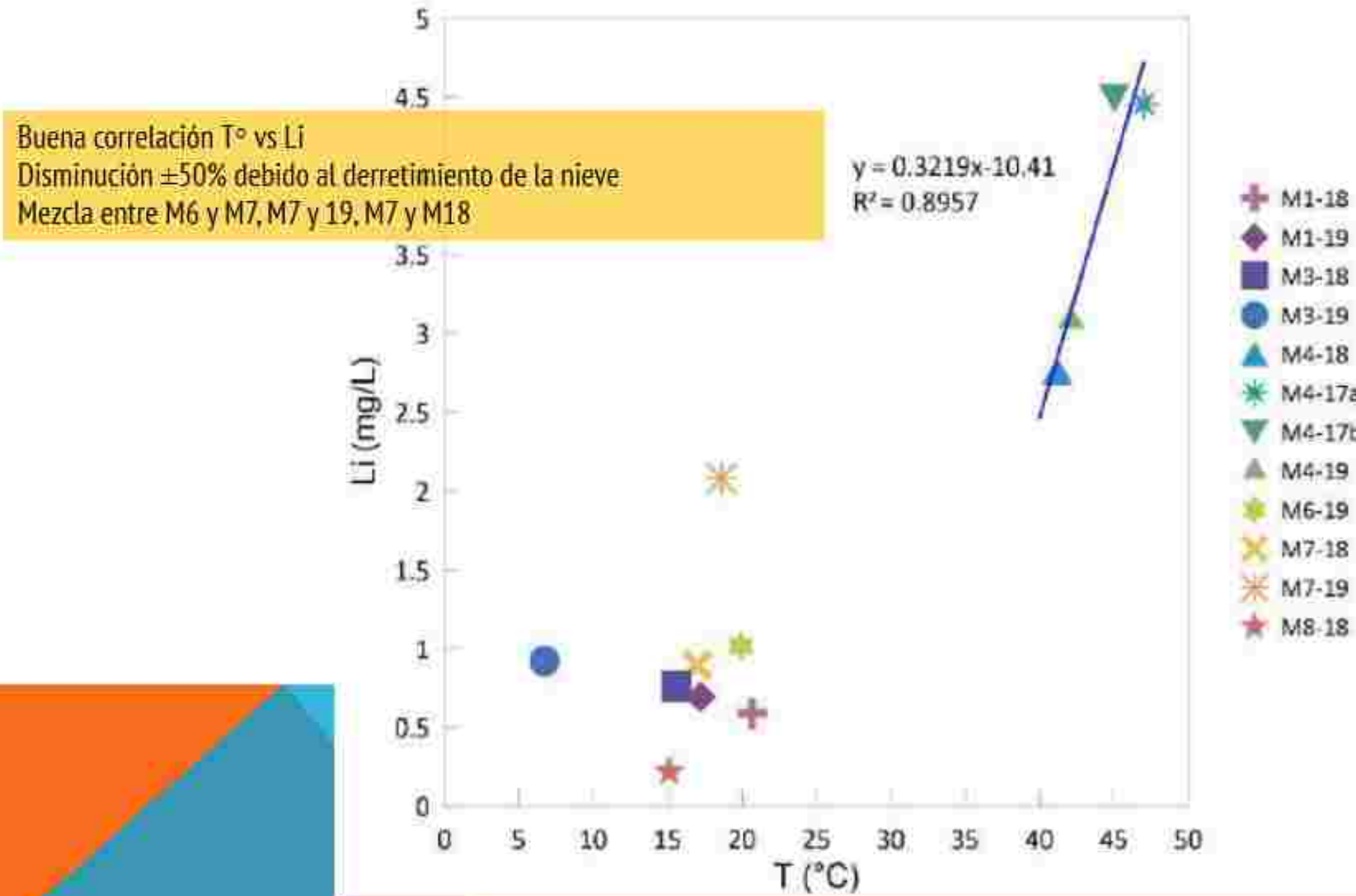
- M1: Falso Azufre volcano vertiente
- M2: Laguna Colgada
- M3: Río Agua Dulce
- M4: Piscina termal
- M5: Laguna Verde
- M6: Río Peñas Blancas, flanco norte
- M7: Río Peñas Blancas, corriente principal
- M8: Río Lamas

M1, M3 a M7 de tipo Na-Cl-SO₄
M2 de tipo Ca-Cl
M8 una mezcla entre tipo Na-Cl y Na-HCO₃



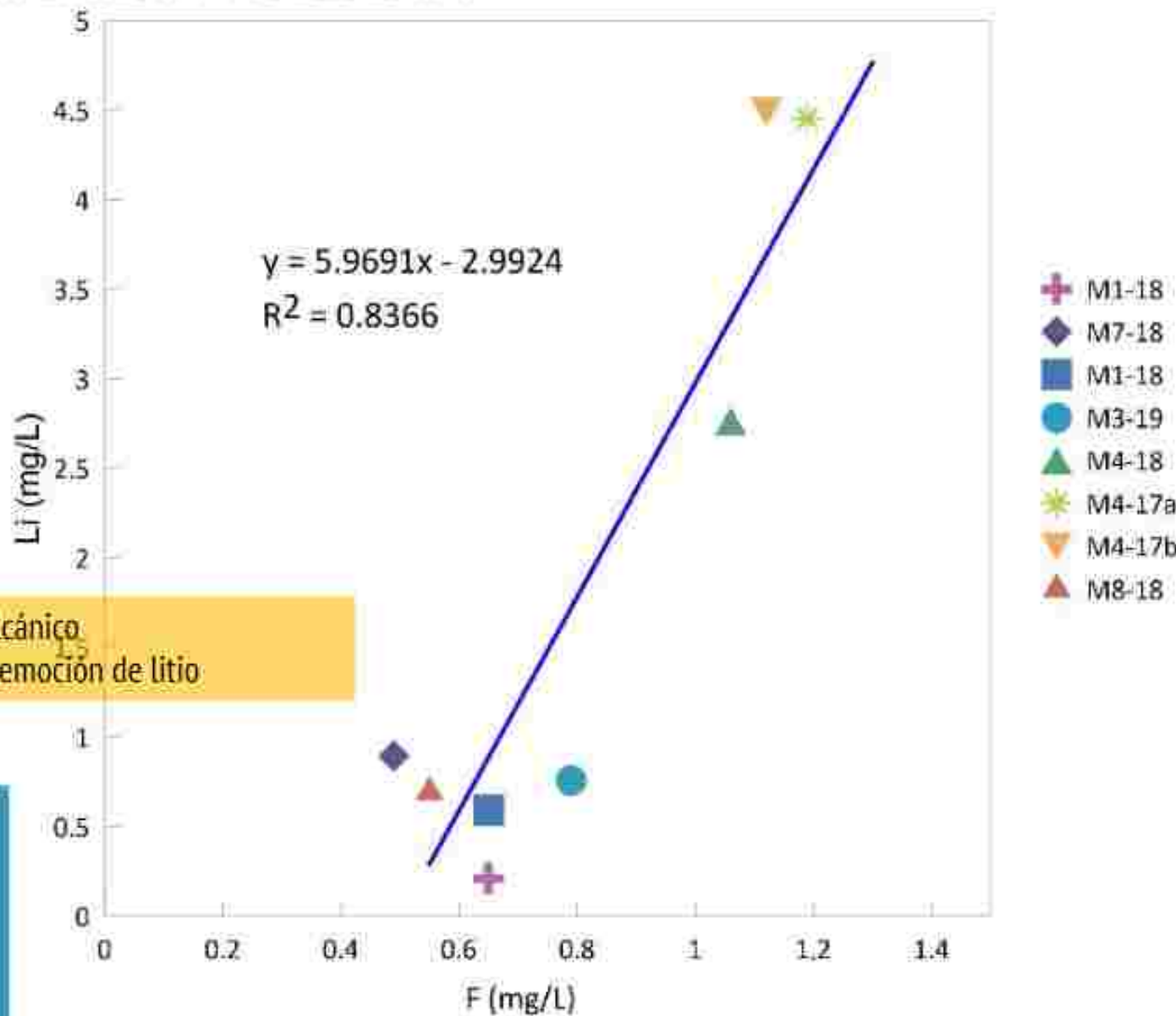
COMPORTAMIENTO DEL LITIO

Li vs. Temperatura



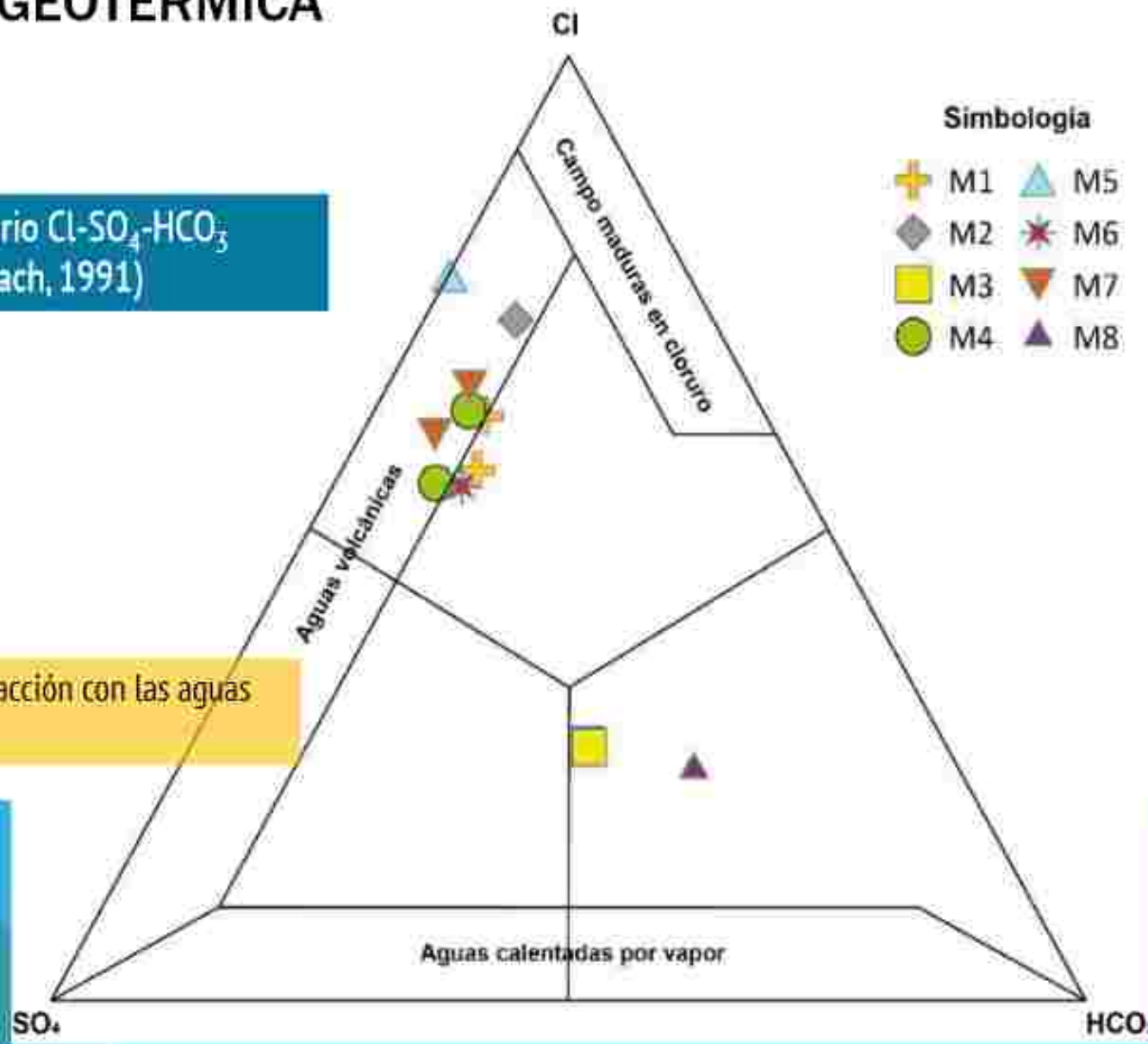
COMPORTAMIENTO DEL LITIO

Li vs. F



GEOQUÍMICA GEOTÉRMICA

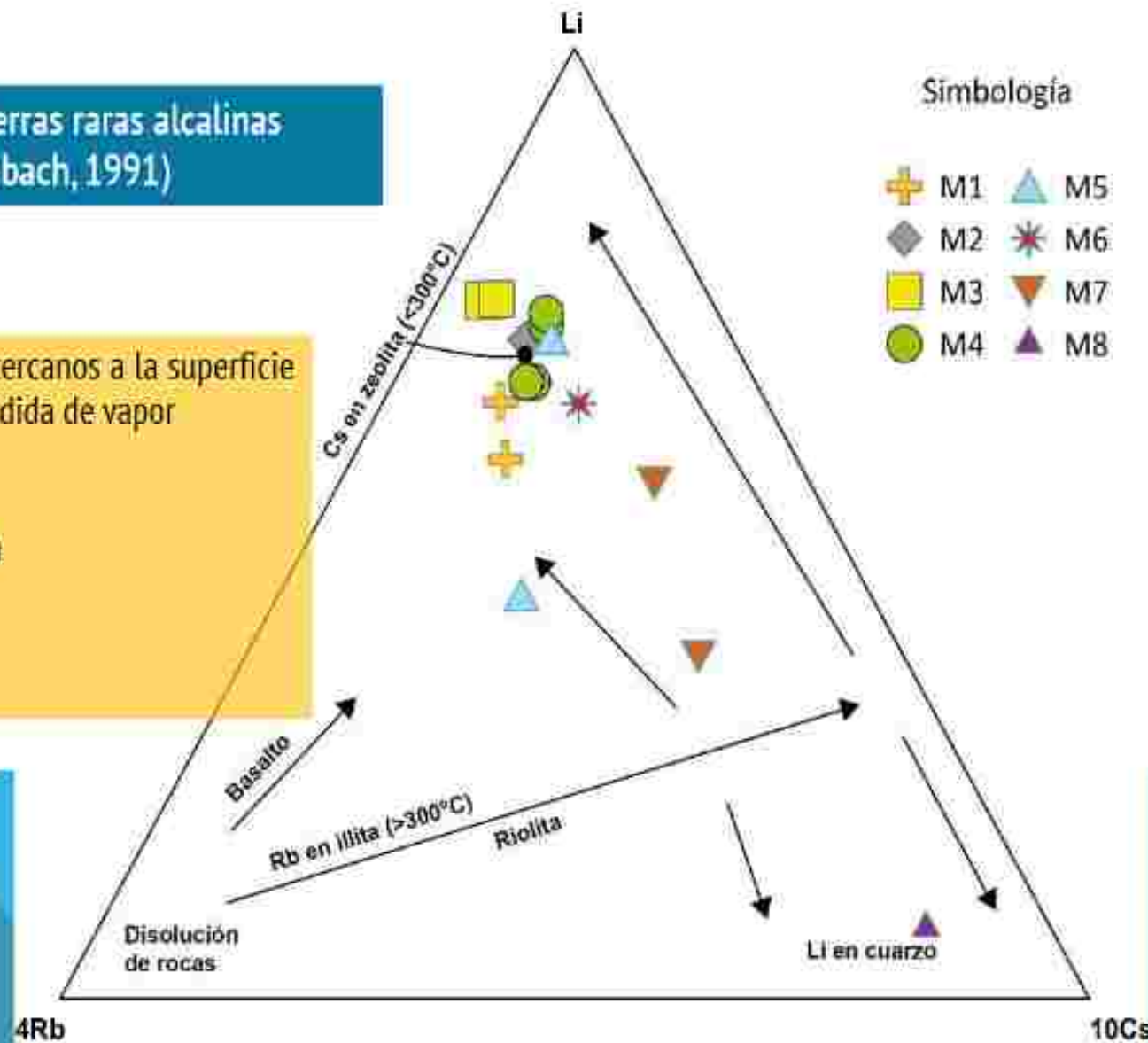
Diagrama ternario Cl-SO₄-HCO₃
(Giggenbach, 1991)



GEOQUÍMICA GEOTÉRMICA

Diagrama de tierras raras alcalinas
(Giggenbach, 1991)

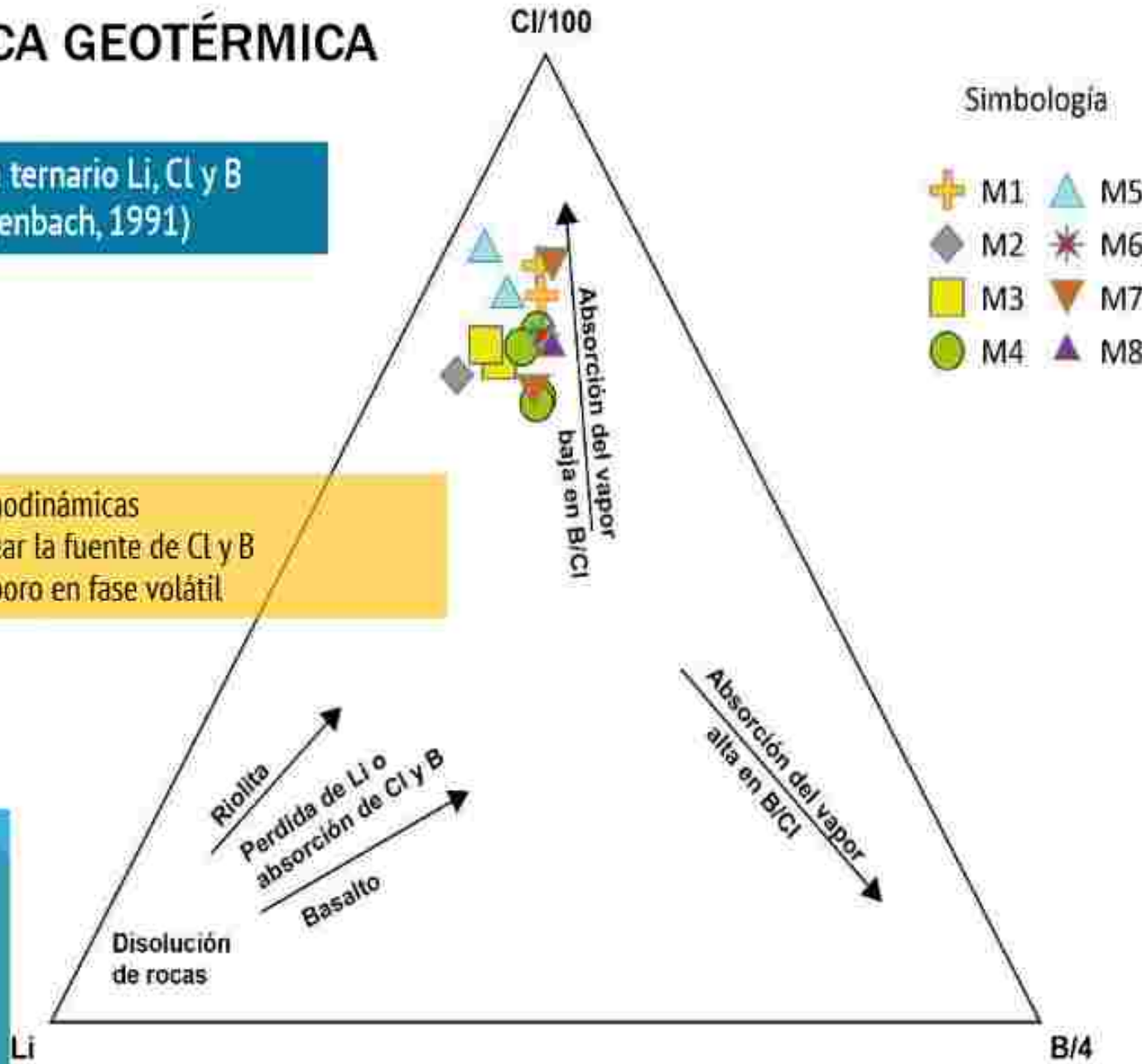
- ❖ No se ve afectado por procesos cercanos a la superficie e insensible a la dilución o la pérdida de vapor
- ❖ Rb en agua a $>300^{\circ}\text{C}$
- ❖ Cs precipitación a $<250^{\circ}\text{C}$
- ❖ Li precipita en Cuarzo and Clorita
- ❖ Alto Li/Cs \rightarrow outflow
- ❖ Bajo Li/Cs \rightarrow upflow



GEOQUÍMICA GEOTÉRMICA

Diagrama ternario Li, Cl y B
(Giggenbach, 1991)

- ❖ B/Cl → condiciones termodinámicas
- ❖ Li → Trazador para evaluar la fuente de Cl y B
- ❖ Low B/Cl → pérdida de boro en fase volátil



GEOQUÍMICA GEOTÉRMICA

Diagrama ternario F, Cl y Mg
(Giggenbach, 1991)

Simbología

M1	M5
M2	M6
M3	M7
M4	M8

- ❖ Condensación de vapor o interacción agua-roca
- ❖ F más abundante en flujo hacia arriba
- ❖ Mg más abundante en aguas de baja temperatura

Mg

Cl/10

Interacción agua roca

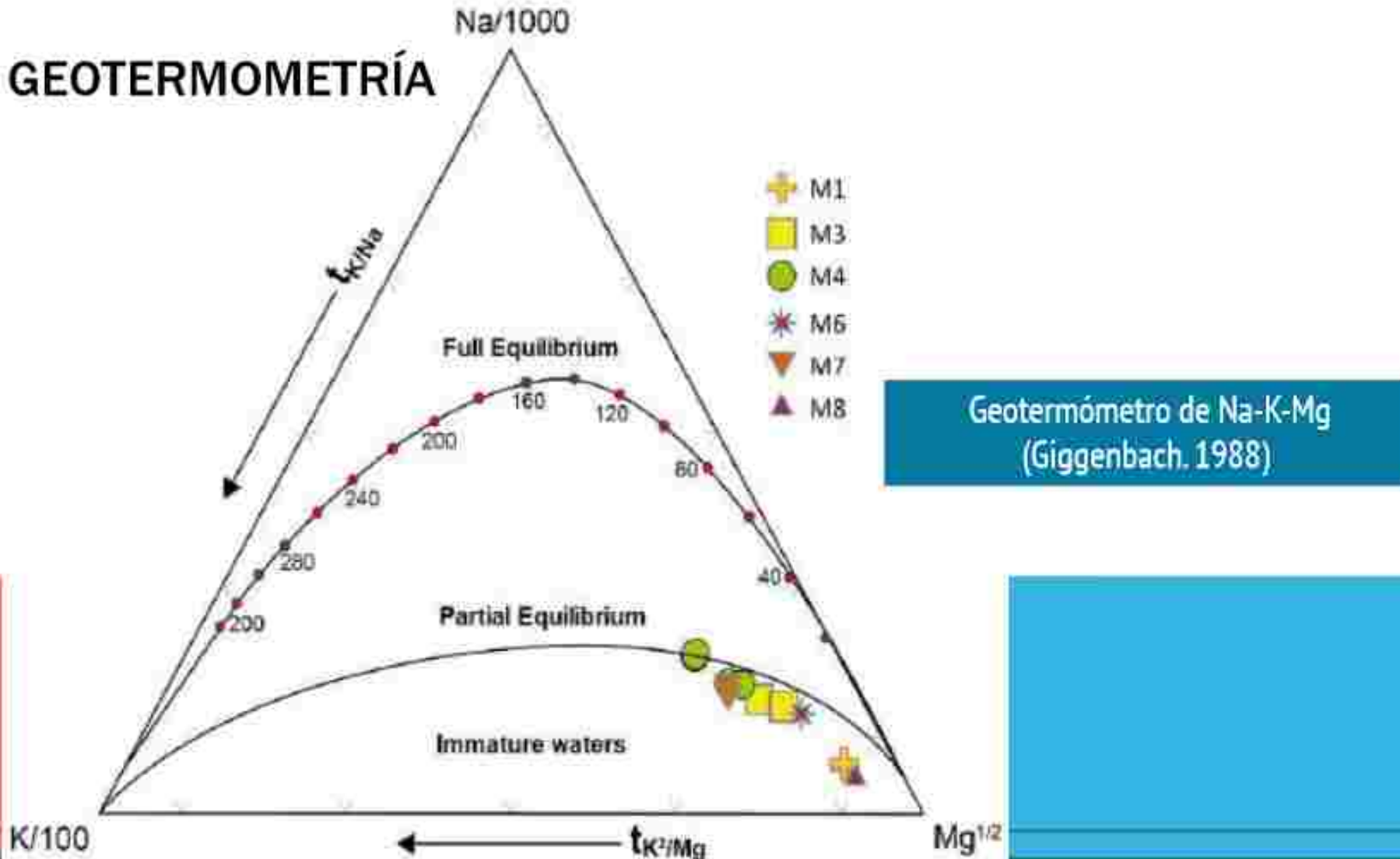
Fumarolas

Condensación de gases (gasos ácidos)

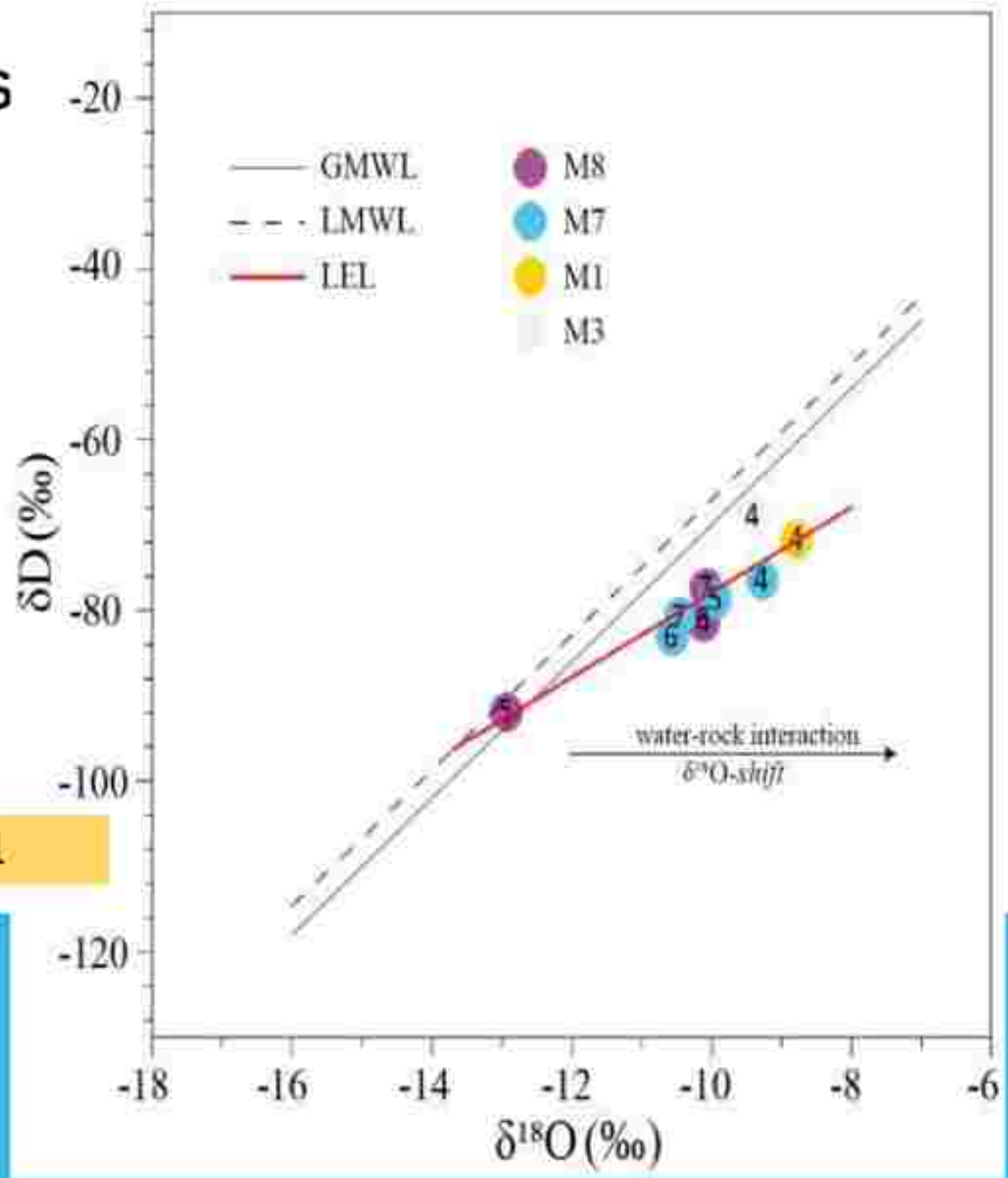
F

- ❖ Límite de equilibrio parcial cercano y aguas inmaduras
- ❖ Gran distancia entre las zonas de *upflow* y *outflow* → posibles cambios en el equilibrio químico que condujeron a la subestimación de la temperatura de equilibrio
- ❖ Temperatura de ebullición del agua 75.68 ° C a 6500 m s. n. m. → Posible limitación de la aplicación de geotermómetros

GEOTERMOMETRÍA

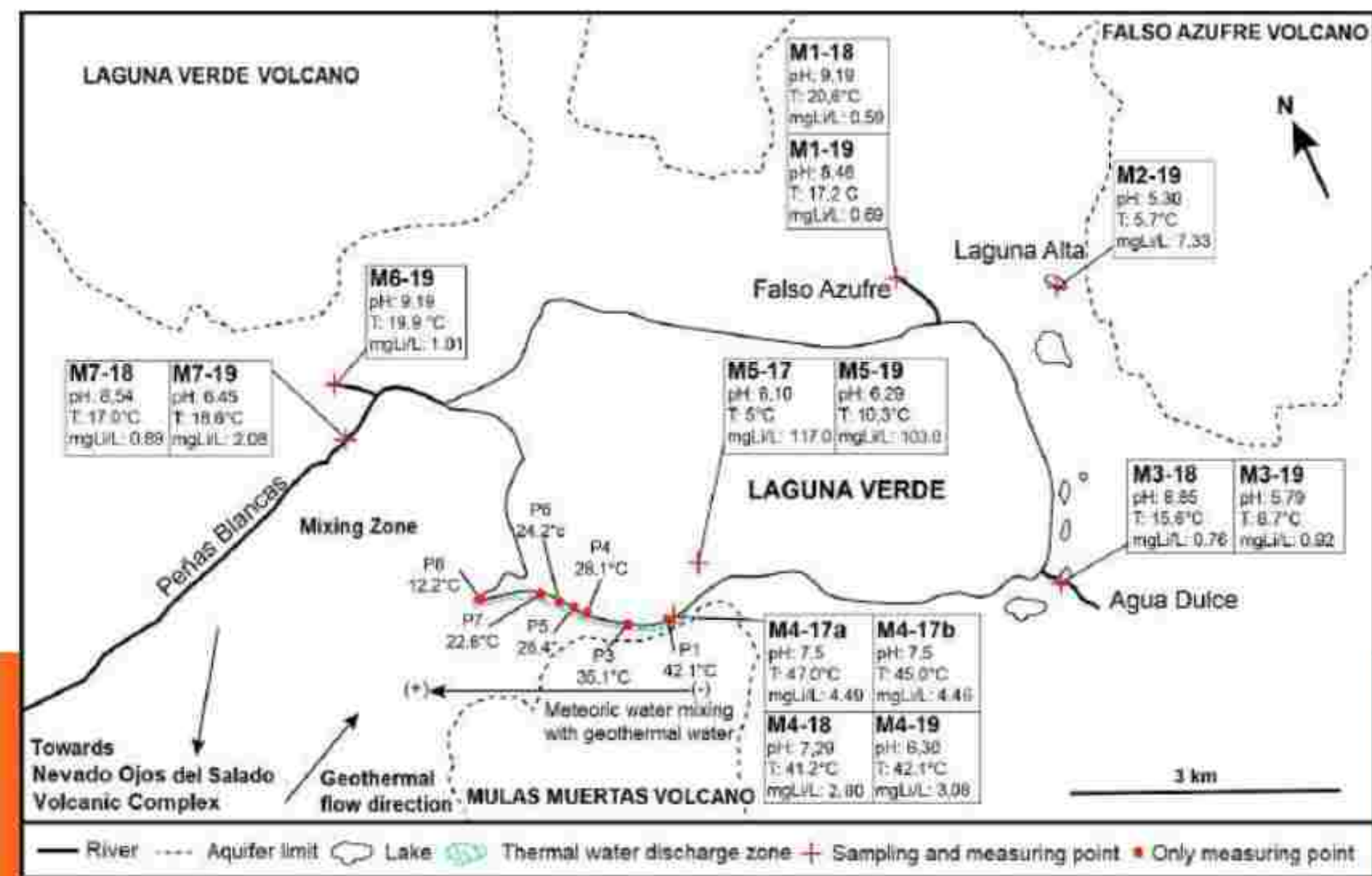


FIRMAS ISOTÓPICAS



Recarga de origen glacial y periglacial

OBSERVACIONES E INTERPRETACIONES



OBSERVACIONES E INTERPRETACIONES

LAGUNA VERDE VOLCANO



Descargas más cálidas que emergen de formaciones impermeables

FALSO AZUFRE VOLCANO

Aguas termales

- ❖ 4.49 - 2.76 mgLi/L efecto de la fusión de nieve
- ❖ Mejor tiempo de muestreo a mediados de invierno - julio
- ❖ Mezcla en río Penas Blancas con 2.08 y 1.01 mgLi/L en sus arroyos sur (principal) y norteño, respectivamente.
- ❖ El flujo proviene del volcán Ojos del Salado

Aguas no termales

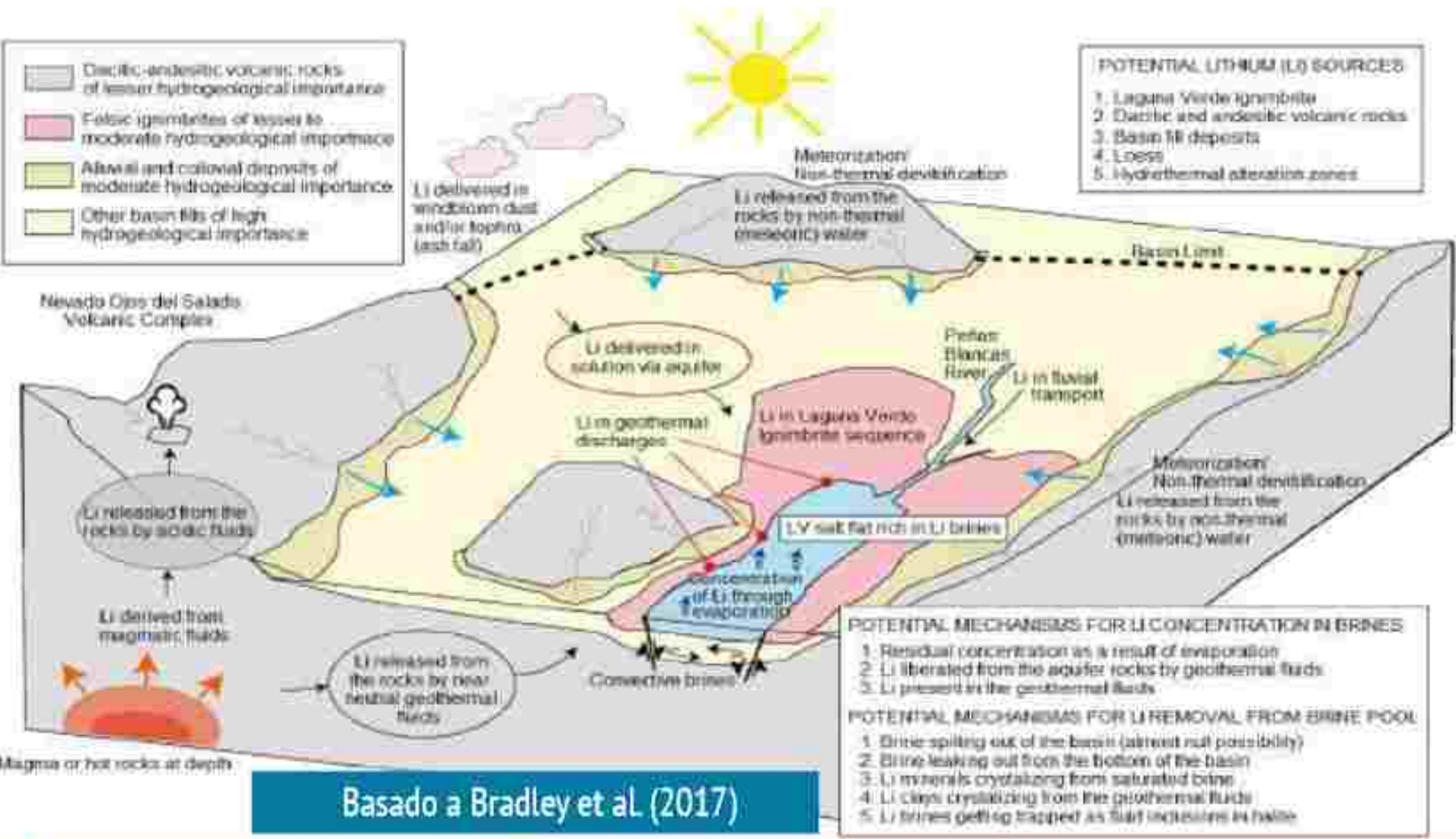
- ❖ 0.59 a 0.76 mgLi/L vs. 0.003 mgLi/L promedio global de Li en aguas superficiales (Faure, 1998)
- ❖ Una parte significativa de Li proviene de la desvitrificación no térmica y / o la interacción con rocas alteradas y / o la interacción con sales de litio precipitadas y / o la abundancia de rocas de vidrio que liberan litio por desvitrificación no térmica.

M4-18	M4-19
pH 7.29	pH 6.30
14.9 °C	42.1 °C
mgLi/L 0.80	mgLi/L 3.00

3 km

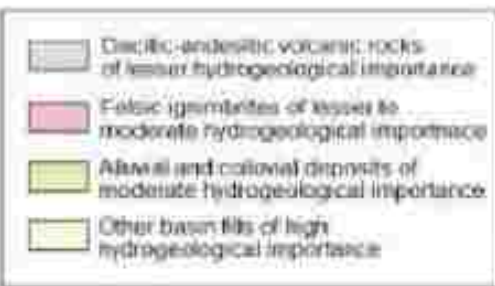
MODELO DE ENRIQUECIMIENTO DEL LITIO

SCHEMATIC MODEL FOR THE SOURCES, FLOW PATHS AND SINKS OF LITHIUM IN THE SLV



MODELO DE ENRIQUECIMIENTO DEL LITIO

SCHEMATIC MODEL FOR THE SOURCES, FLOW PATHS AND SINKS OF LITHIUM IN THE SLV

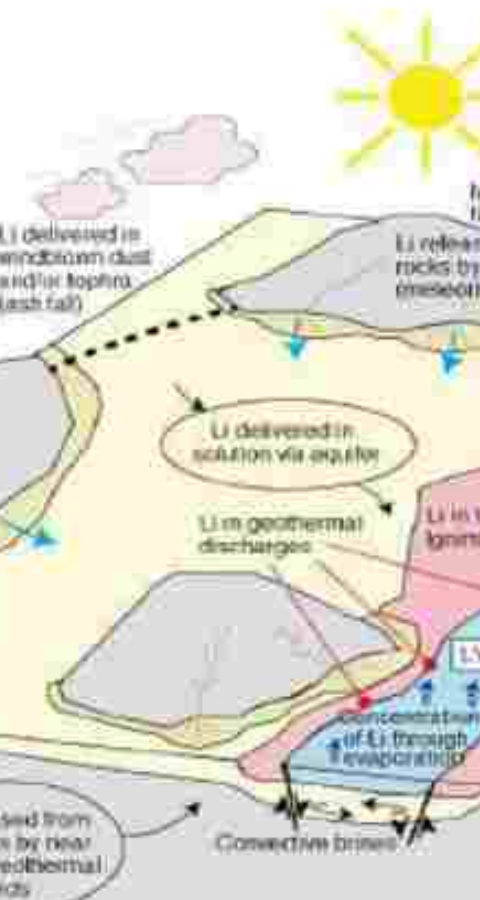


Nevado Ojos del Salado
Volcanic Complex

Li released from the
rocks by acidic fluids

Li derived from
magmatic fluids

Magma or hot rocks at depth



Basado a Bradley et al. (2017)

Abundancia: Andesitas > Dacitas > Riolitas

Li: Riolitas > Deacitas > Andesitas
(Price et al., 2000)

POTENTIAL LITHIUM SOURCES
Li released from the rocks by hydrothermal fluids
Li released from the rocks by acidic fluids
Li present in the geothermal fluids
Li present in the brines

Li remoción: Térmica vs. Meteórica (7:1)

Transporte: Fluidos geotérmicos y flujos superficiales y aguas subterráneas

Aportes: Indeterminado, se necesita un modelo numérico

Concentración: Evaporación, Precipitación

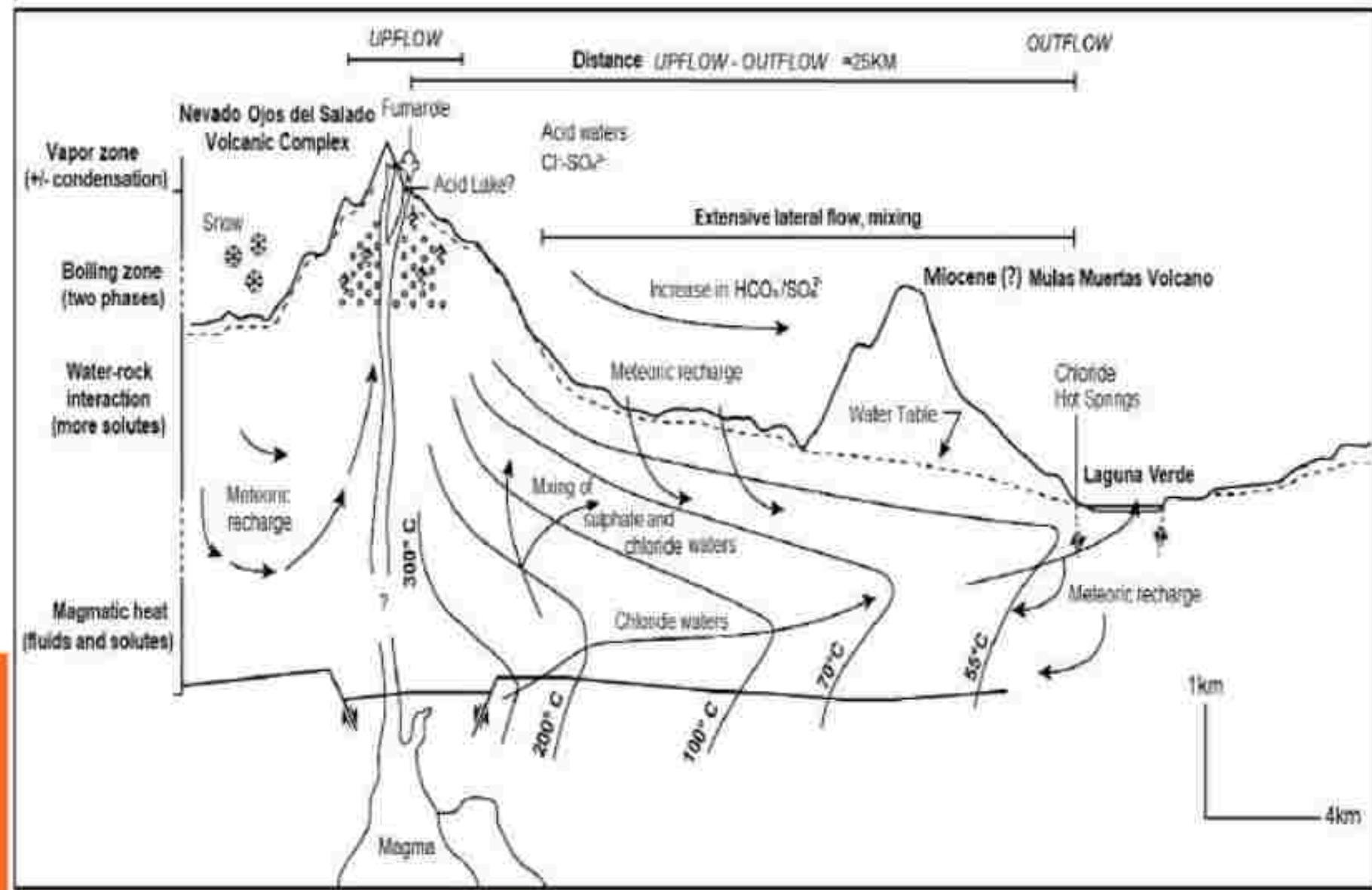
POTENTIAL MECHANISMS FOR Li CONCENTRATION IN BRINES

1. Residual concentration as a result of evaporation
2. Li liberated from the aquifer rocks by geothermal fluids
3. Li present in the geothermal fluids

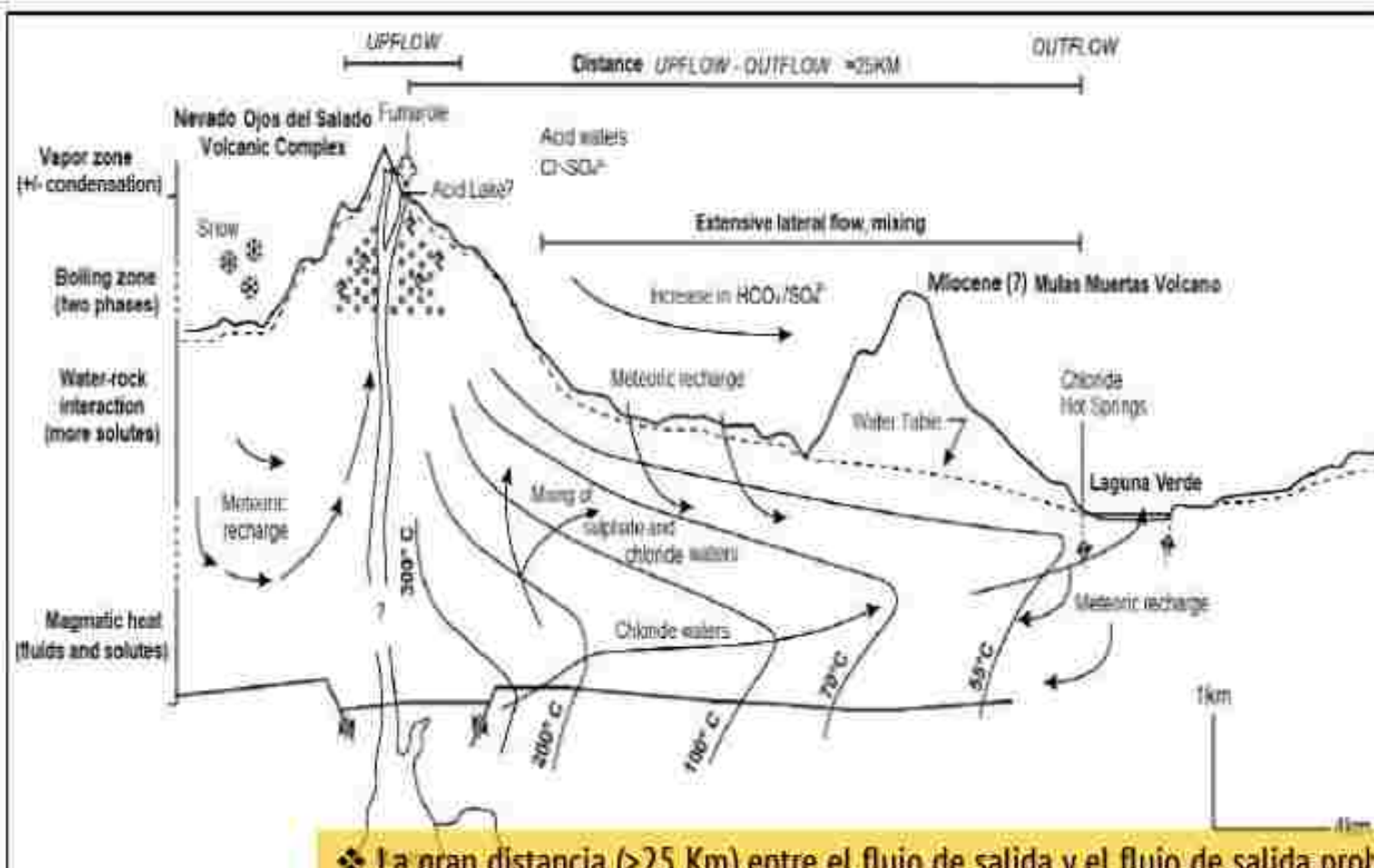
POTENTIAL MECHANISMS FOR Li REMOVAL FROM BRINE POOL

1. Brine spilling out of the basin (almost null possibility)
2. Brine leaking out from the bottom of the basin
3. Li minerals crystallizing from saturated brine
4. Li clay crystallizing from the geothermal fluids
5. Li brines getting trapped as salt inclusions in halite

MODELO CONCEPTUAL



MODELO CONCEPTUAL



- ❖ La gran distancia (>25 Km) entre el flujo de salida y el flujo de entrada probablemente produce varios cambios en el equilibrio químico, y explica la baja temperatura estimada (subestimación del potencial geotérmico).
- ❖ Posiblemente más manifestaciones geotermicas cerca del volcán Ojos del Salado hacia el oeste de la cumbre principal.
- ❖ Las estructuras de infiltración profunda deben estar cubiertas por sedimentos.

¿CUÁL ES LA IMPLICACIÓN?

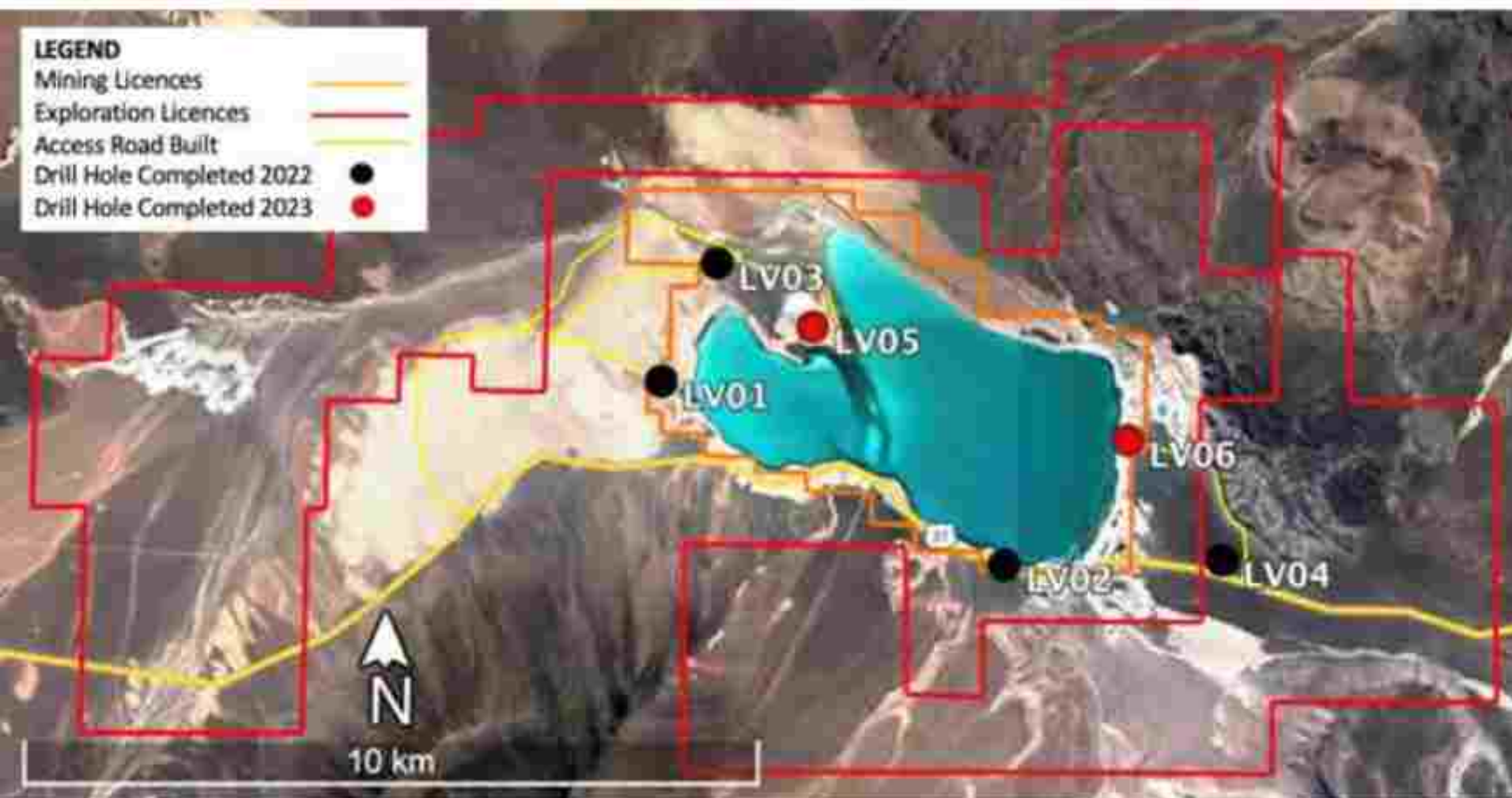
El calentamiento conductor por fluidos geotérmicos subyacentes podría inducir la circulación (análoga al vuelco convectivo) en una porción de las salmueras de la cuenca que se encuentran dentro de regiones hidrológicamente conectadas.

Los procesos mencionados anteriormente pueden conducir al desarrollo de una distribución subsuperficial heterogénea de litio en cuencas cerradas.



**The role of a geothermal system in the formation of lithium-rich brines:
A missing link in developing sustainable mining methods**

COMPROBACIÓN DEL MODELO



CleanTech Lithium

COMPROBACIÓN DEL MODELO

El programa de perforación de seis pozos de la empresa CleanTech Lithium encontró grados promedio de litio de 200 mg/L y registró hasta 409 mg/L en profundidad, lo que sugiere el potencial de leyes más altas en profundidad.

El pozo LV01 se completó a una profundidad de 474 m, LV02 alcanzó 339,4 m, LV03 alcanzó 547,5 m y LV04 311 m. Dos pozos de relleno, LV05 y LV06, se completaron en el primer semestre de 2023 alcanzando profundidades de 434,6 y 405 m respectivamente.

La perforación también indicó una fuerte influencia geotérmica en las salmueras de Laguna Verde, con temperaturas promedio registradas de 20-30°C, que coinciden con el rango de temperatura ideal para el proceso DEL/EDL.

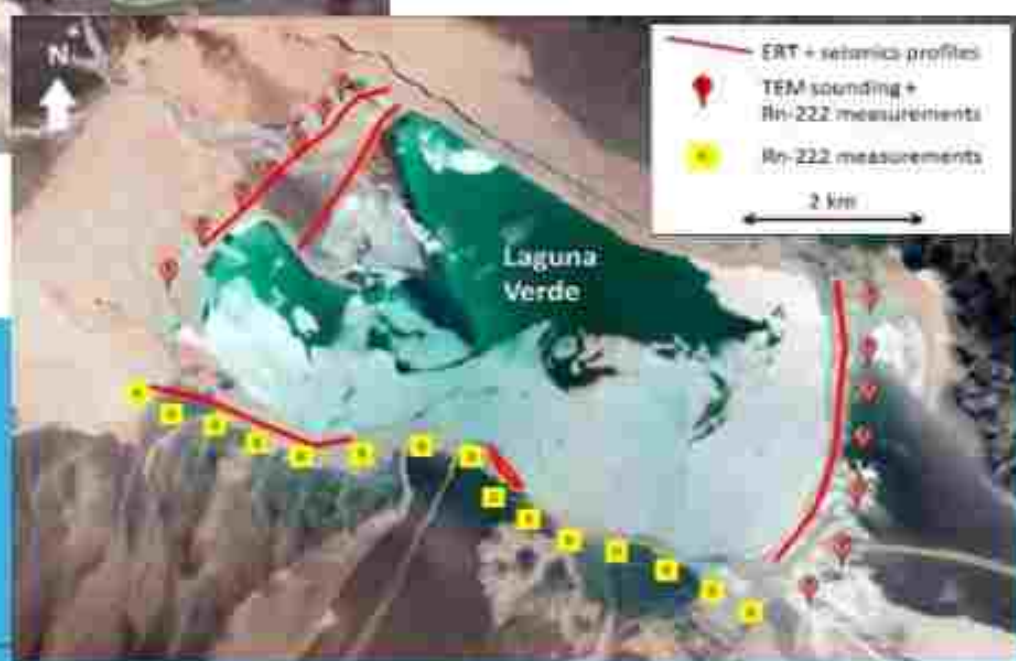


**The role of a geothermal system in the formation of lithium-rich brines:
A missing link in developing sustainable mining methods**

PRÓXIMO PASO

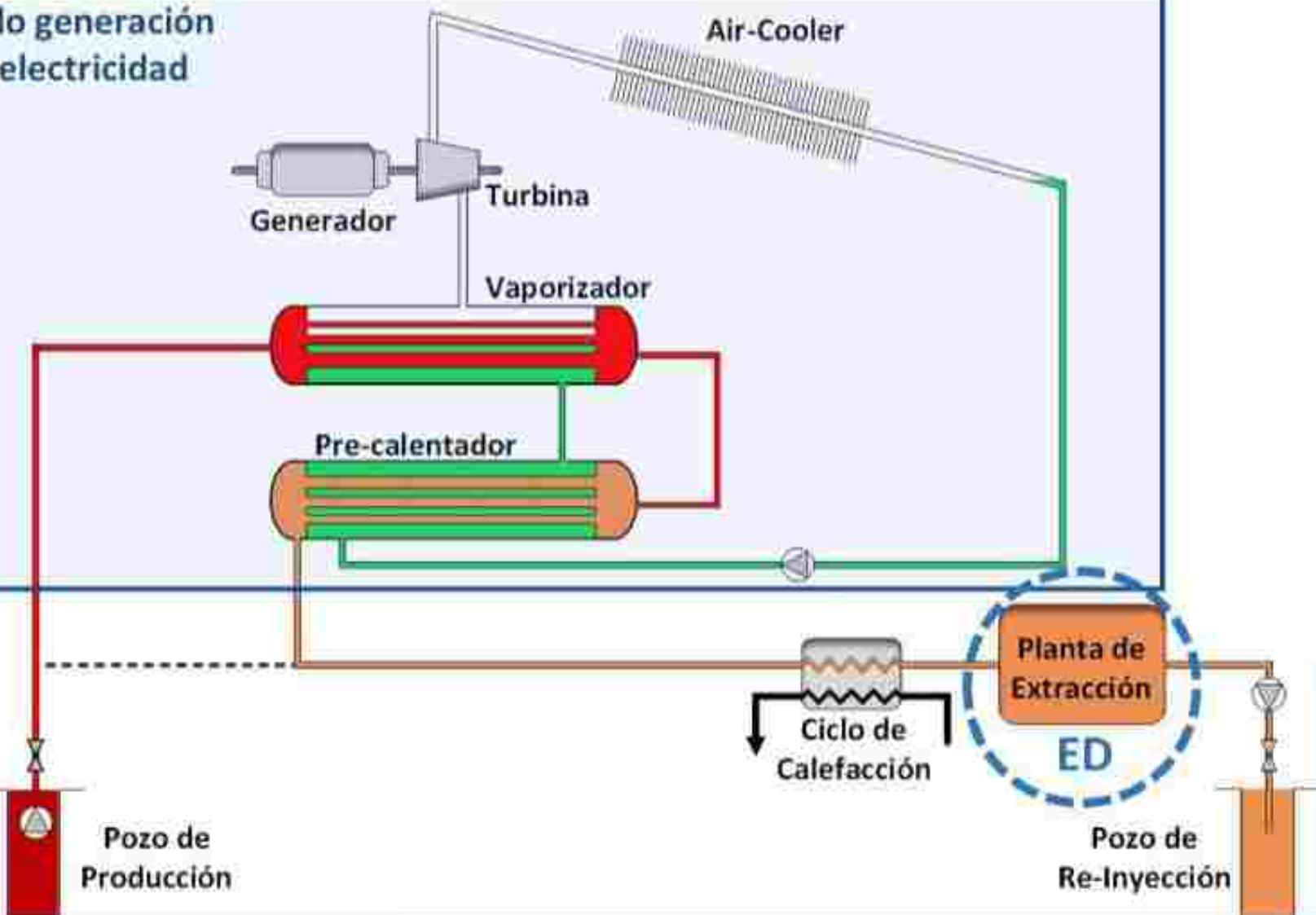


Proposed MT (L) and TEM sounding (R) sites, along with ERT, seismic profiles and Rn-222 measurements



EXTRACCIÓN DIRECTA (DEL O EDL)

Ciclo generación de electricidad



CLASIFICACIÓN DE LOS RECURSOS GEOTÉRMICOS



Yacimientos de baja temperatura

Entre 1.500 y 2.500 metros de profundidad.
Su temperatura oscila entre 60 y 100°C.

Yacimientos de muy baja temperatura

A partir de los 15°C.

Yacimientos de alta temperatura

Una roca permeable guarda en su interior el fluido a alta temperatura (150 y 350 °C) muy cerca de un foco de calor activo. Dicha roca está rodeada por una capa de rocas impermeables que suele tener grietas por donde se escapa el calor.

Yacimientos de roca caliente

A profundidades de entre 4.800 y 8.000 metros, la roca caliente está seca.

¿CÓMO FUNCIONA?

1

El agua se acumula formando depósitos o acuíferos ubicados en distintos niveles en la profundidad de la Tierra.

2

Un foco de calor magnético calienta el agua.

4 En la parte superior de la corteza, rocas impermeables impiden la fuga de calor.

3

Rocas fracturadas permiten la transferencia de calor de la fuente a la superficie.

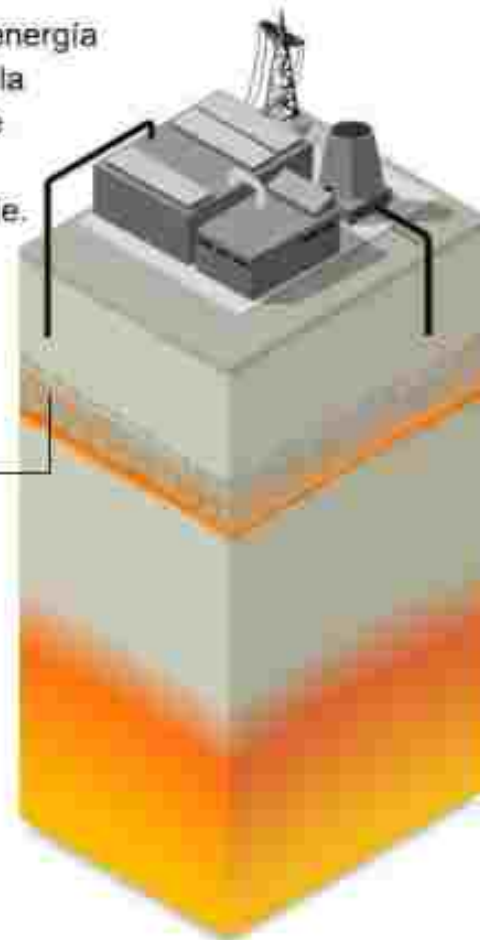


¿CÓMO FUNCIONA UN CENTRAL GEOTÉRMICA?

En la actualidad, la utilización de la energía geotermal se encuentra limitada por la tecnología que permite un transporte del agua en estado líquido o vapor desde zonas profundas a la superficie.

1

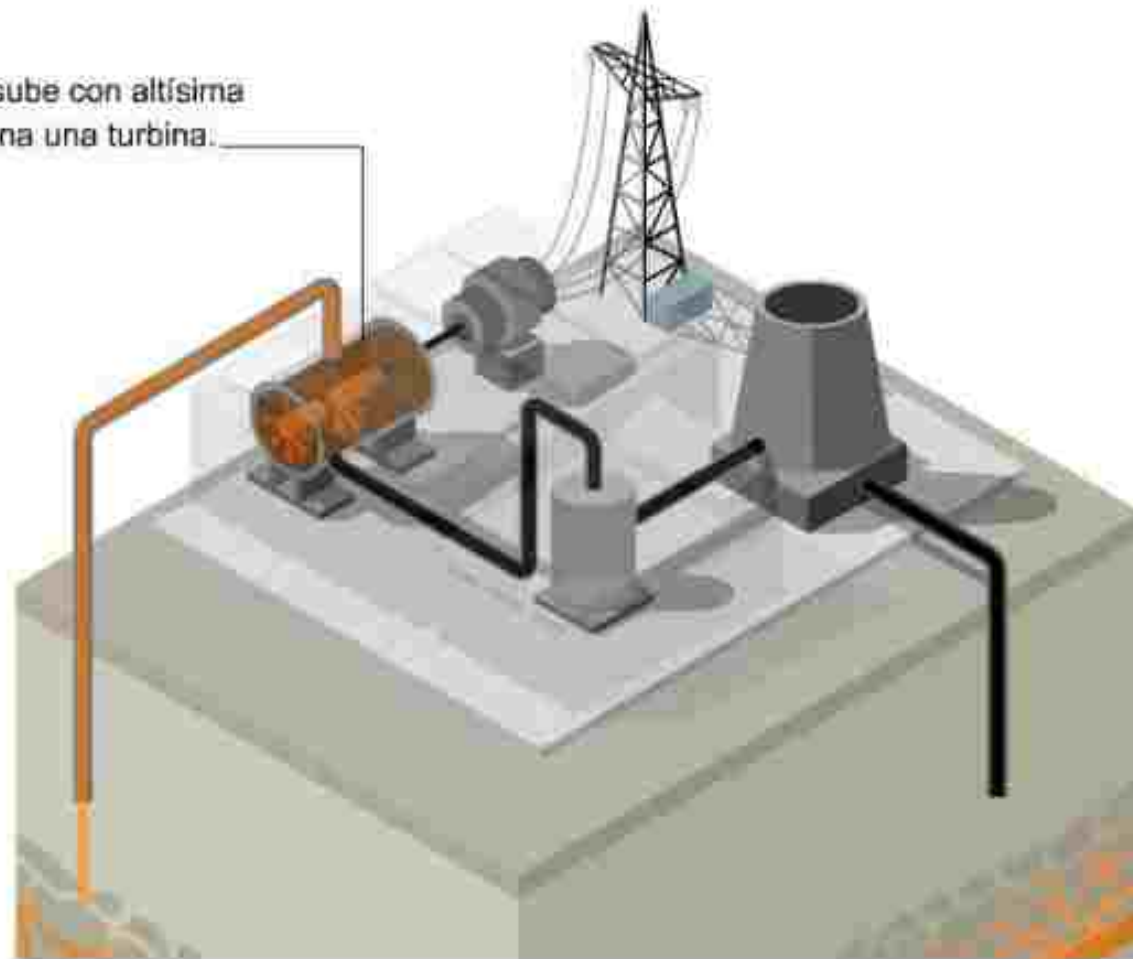
Mediante un tubo, el vapor es transportado hasta la superficie.



¿CÓMO FUNCIONA UNA CENTRAL GEOTÉRMICA?

②

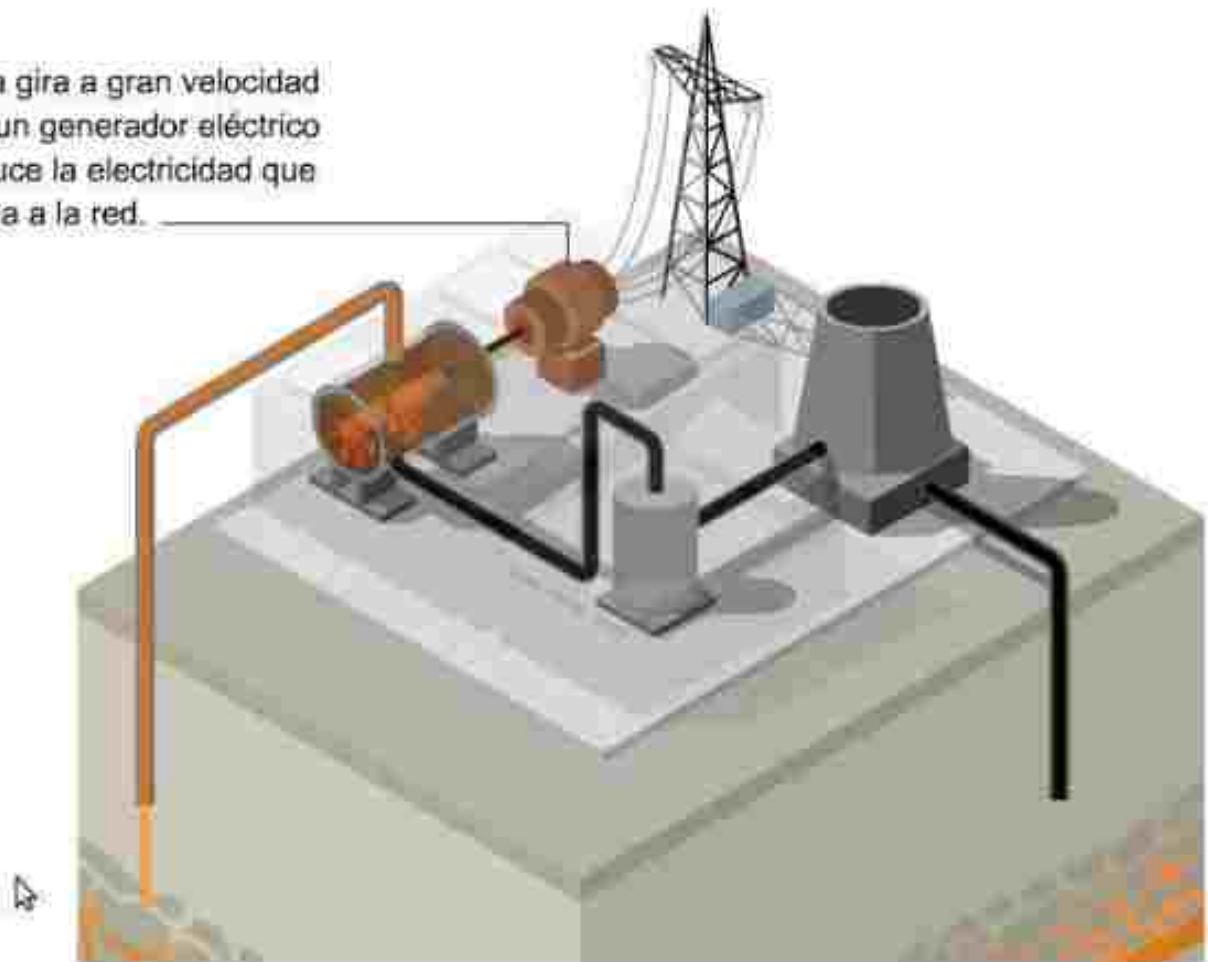
El vapor que sube con altísima presión, acciona una turbina.



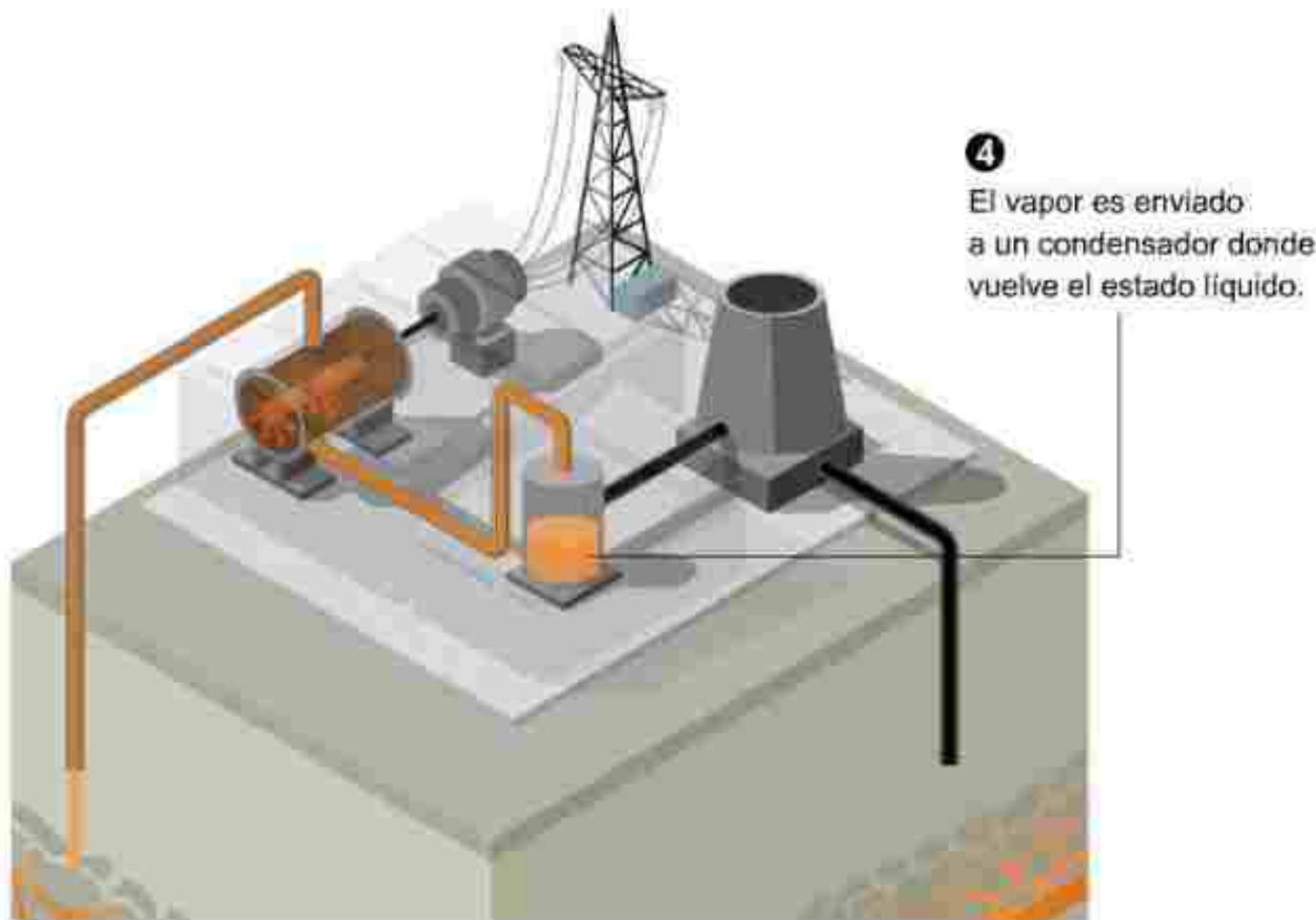
¿CÓMO FUNCIONA UNA CENTRAL GEOTÉRMICA?

3

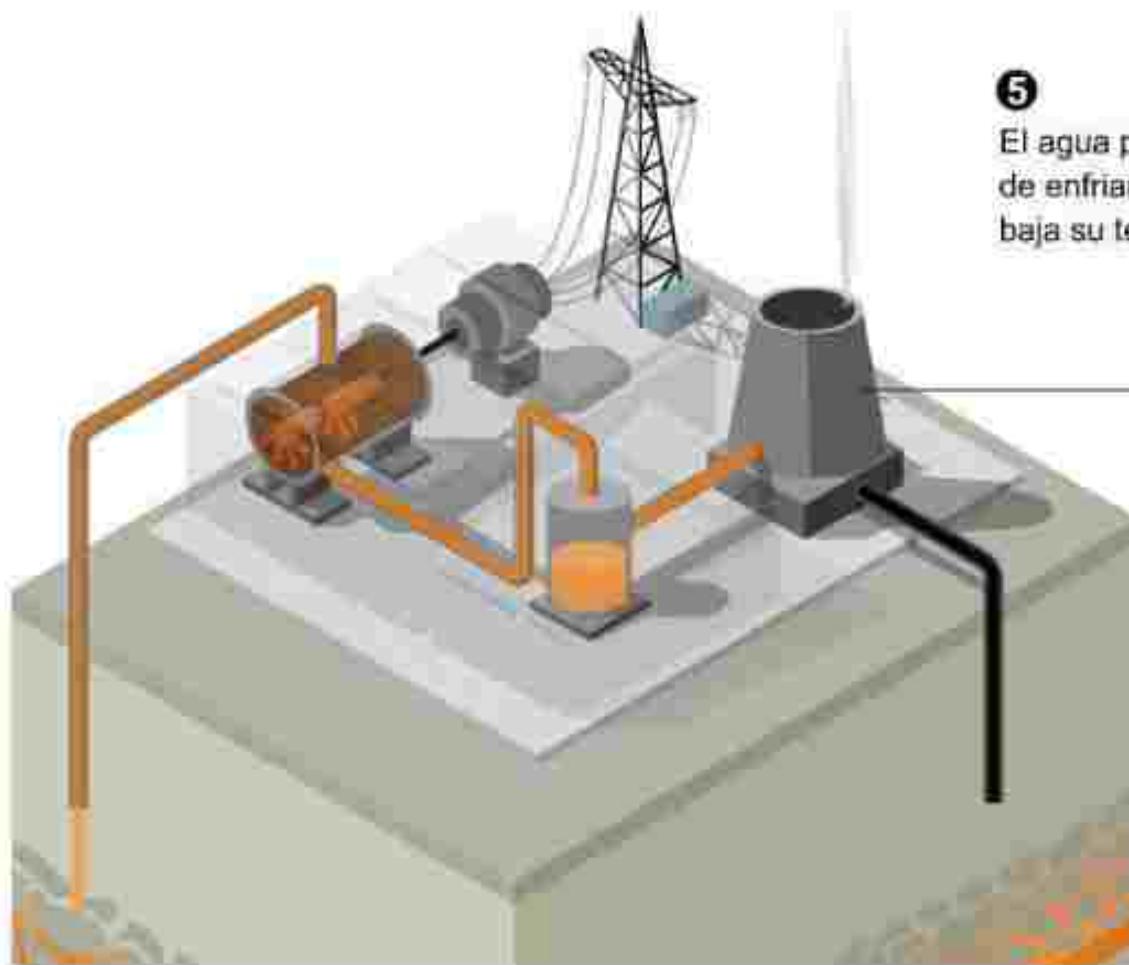
La turbina gira a gran velocidad y mueve un generador eléctrico que produce la electricidad que es enviada a la red.



¿CÓMO FUNCIONA UNA CENTRAL GEOTÉRMICA?



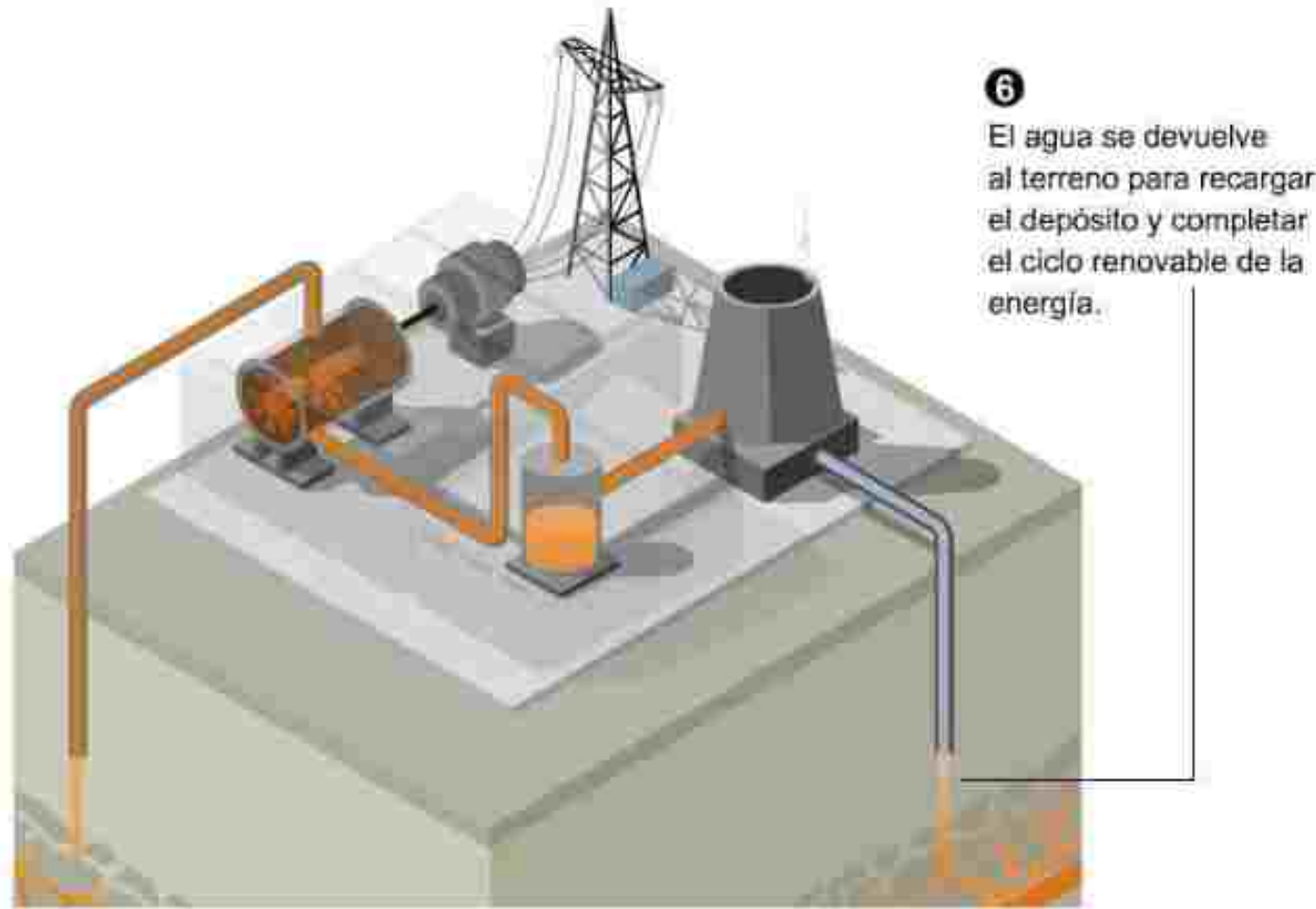
¿CÓMO FUNCIONA UNA CENTRAL GEOTÉRMICA?



5

El agua pasa a una torre de enfriamiento donde se baja su temperatura.

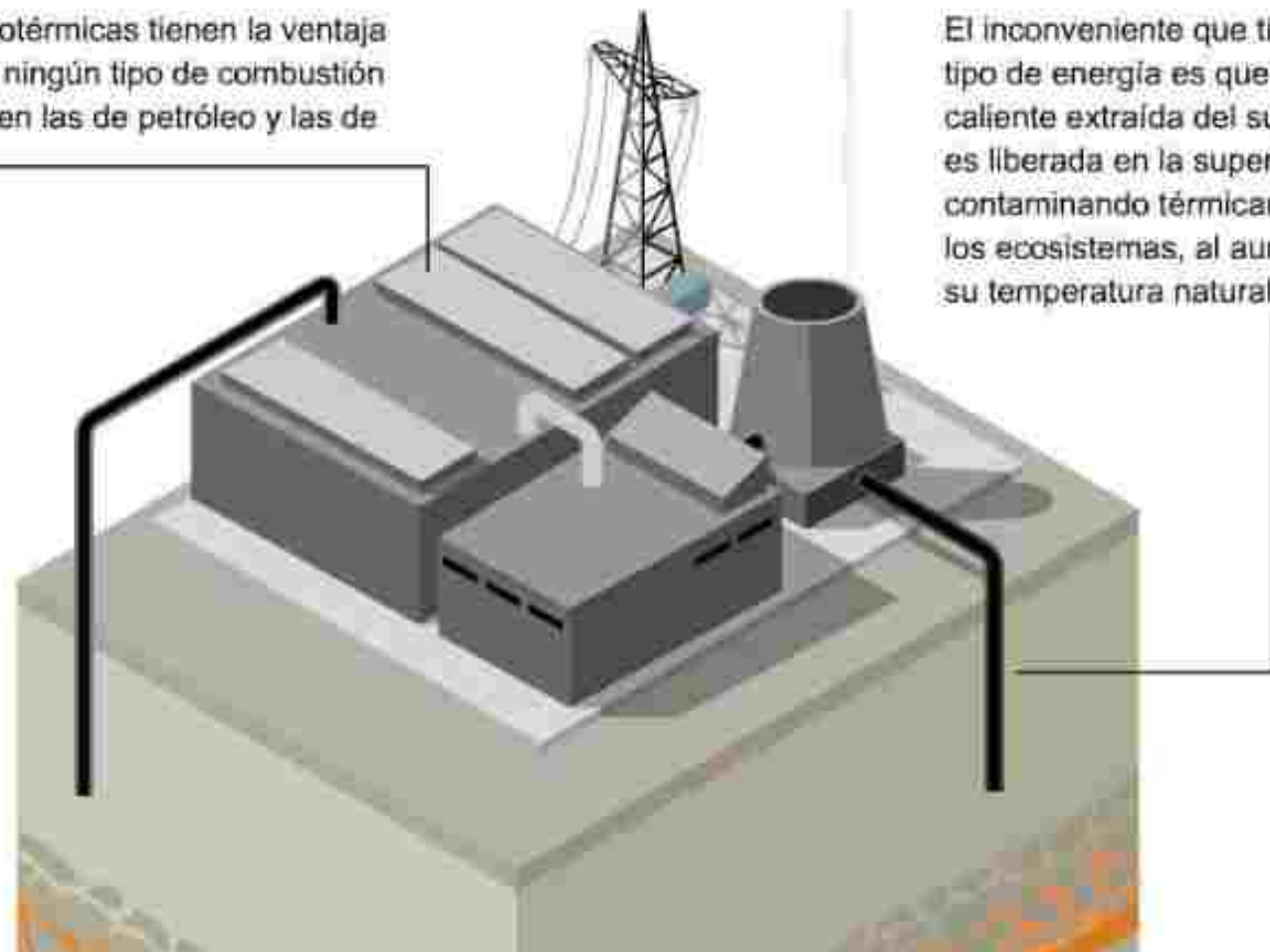
¿CÓMO FUNCIONA UNA CENTRAL GEOTÉRMICA?



¿CÓMO FUNCIONA UNA CENTRAL GEOTÉRMICA?

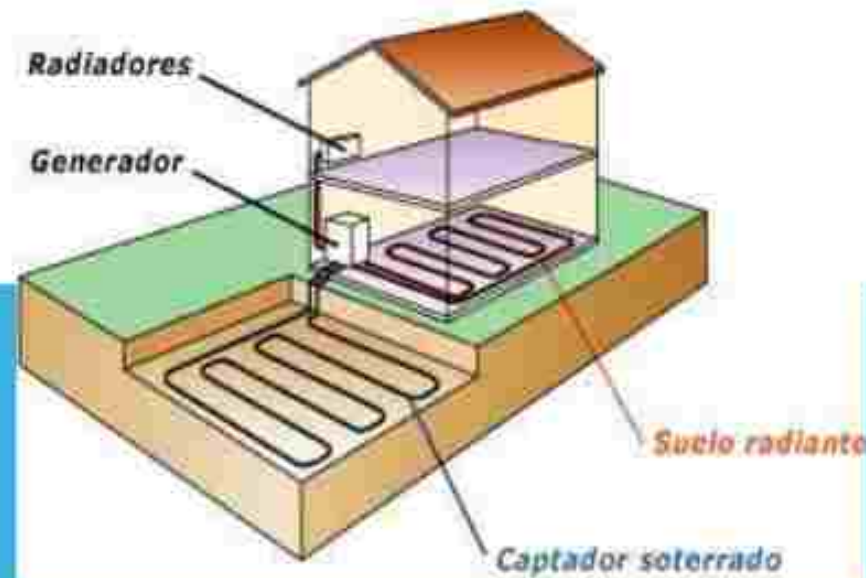
Las plantas geotérmicas tienen la ventaja de no producir ningún tipo de combustión como si lo hacen las de petróleo y las de carbón.

El inconveniente que tiene este tipo de energía es que el agua caliente extraída del subsuelo es liberada en la superficie contaminando térmicamente los ecosistemas, al aumentar su temperatura natural.

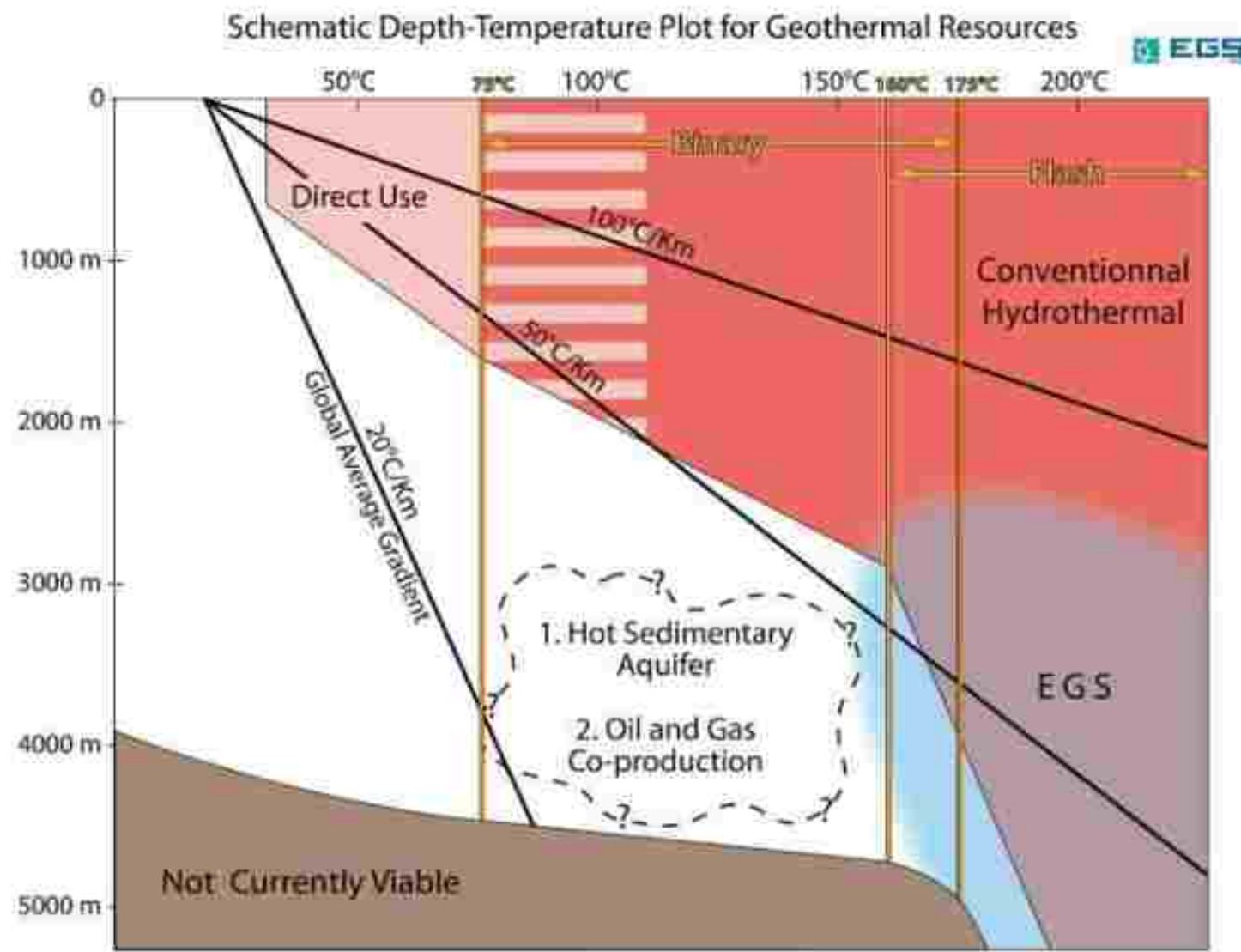


USOS DIRECTOS DE LA ENERGÍA GEOTÉRMICA

- ❖ La energía geotérmica es capaz de extraer el calor natural de la tierra para emplearlo en el hogar a modo de calefacción, agua caliente sanitaria, o calentamiento de piscinas.
- ❖ Permite un máximo ahorro en el consumo de calefacción al utilizar calor natural, gratuito y al no tener que emplear la combustión de materias primas para el calentamiento de su hogar



ALCANCE DE LA GEOTERMIA



¡MUCHAS GRACIAS!

Correo: ayaz.alam@usach.cl / ayaz.alam@gmail.com

LinkedIn: <https://www.linkedin.com/in/ayazalam/>

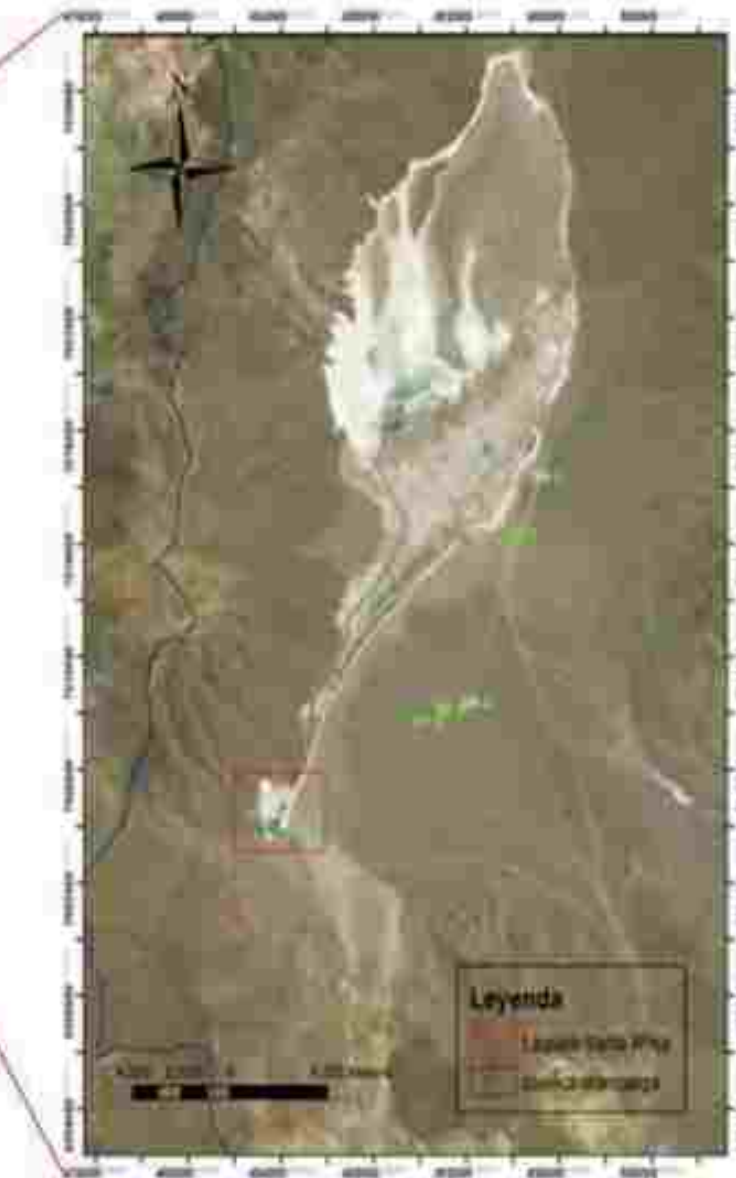
ResearchGate: <https://www.researchgate.net/profile/Mohammad-Ayaz-Alam>

LAGUNA SANTA ROSA Y EL “TRIANGULO DE LITIO”

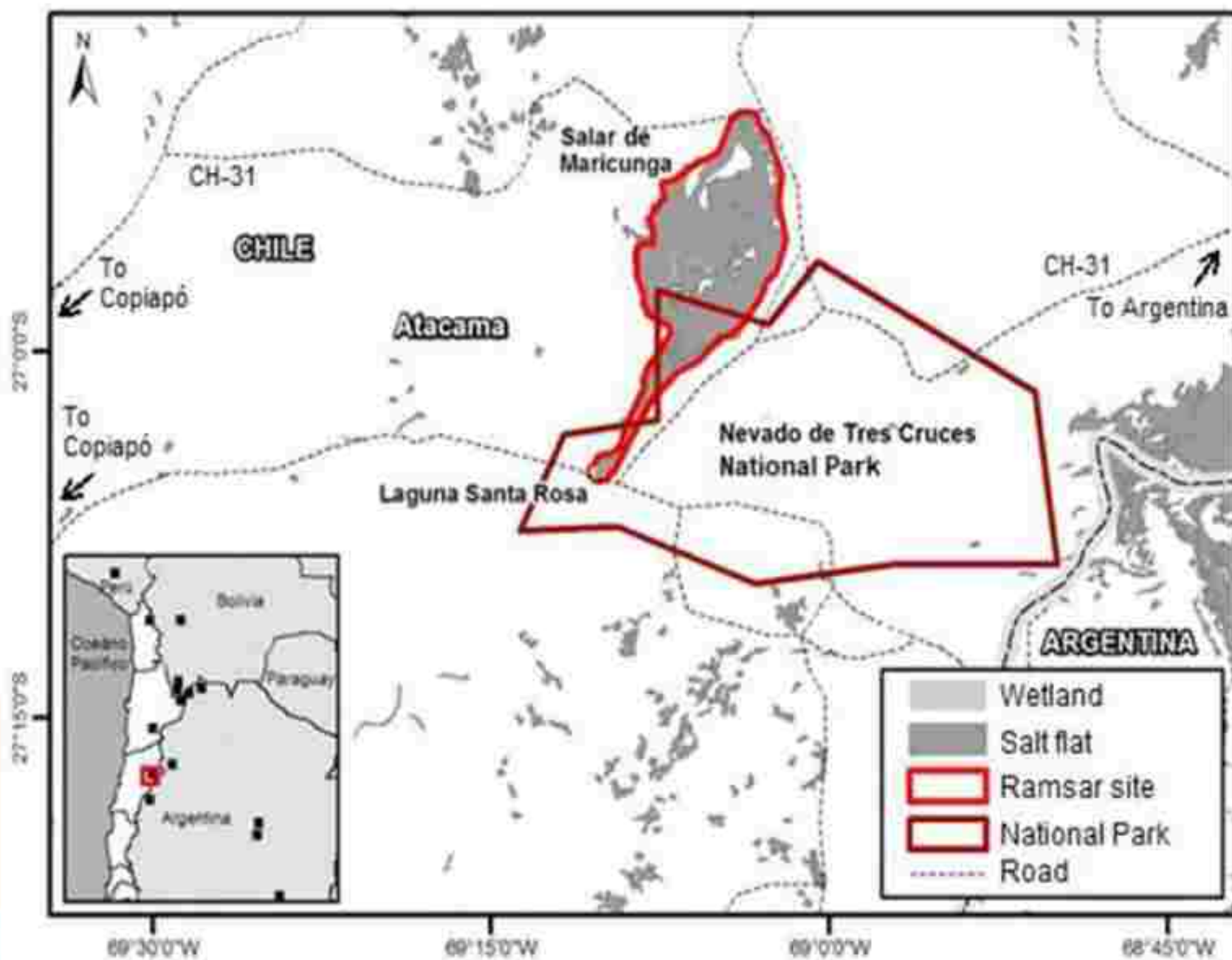


Modificado de Lithium Power (2017)

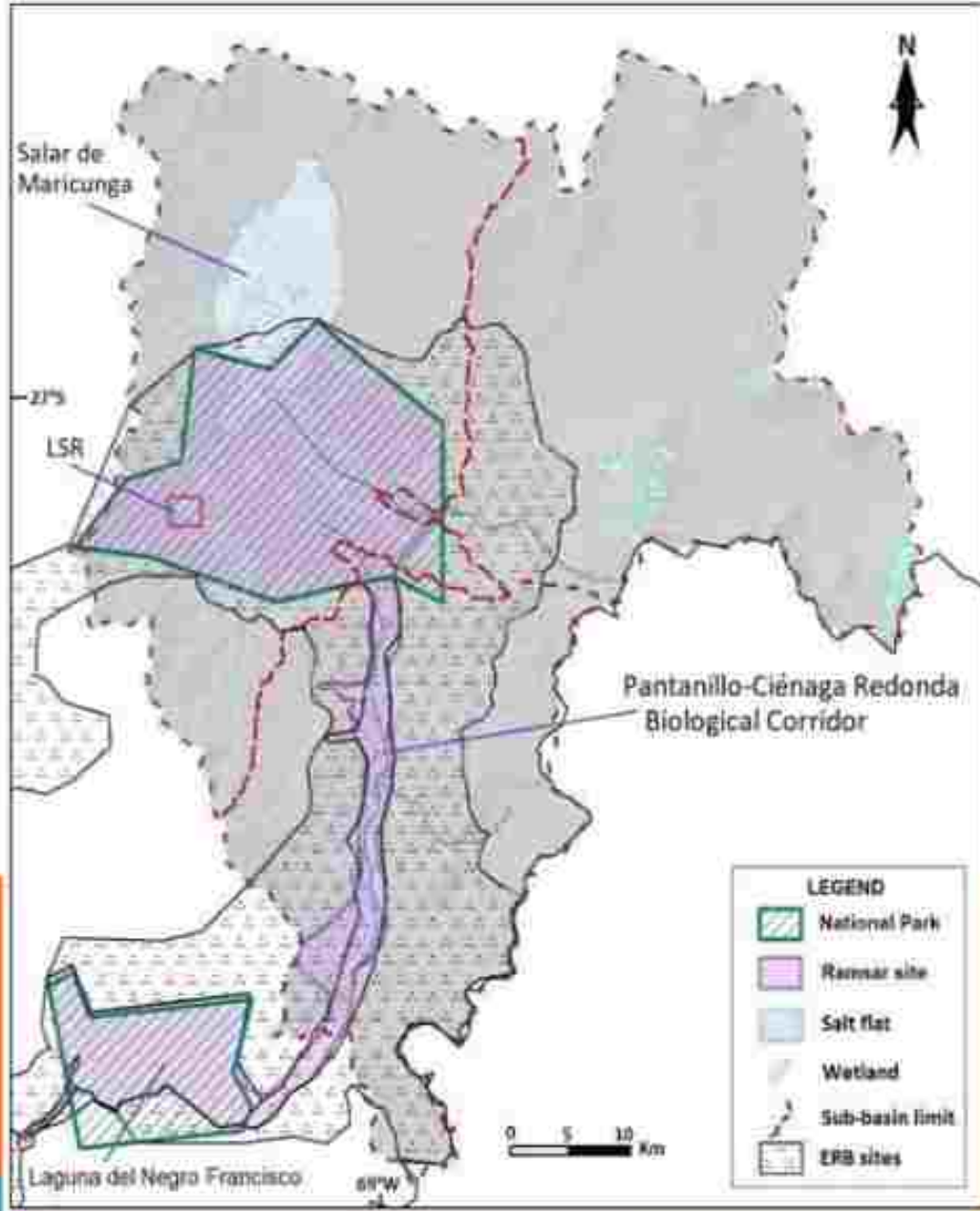
UBICACIÓN DEL SALAR DE MARICUNGA Y LAGUNA SANTA ROSA



UBICACIÓN DEL SALAR DE MARICUNGA Y LAGUNA SANTA ROSA

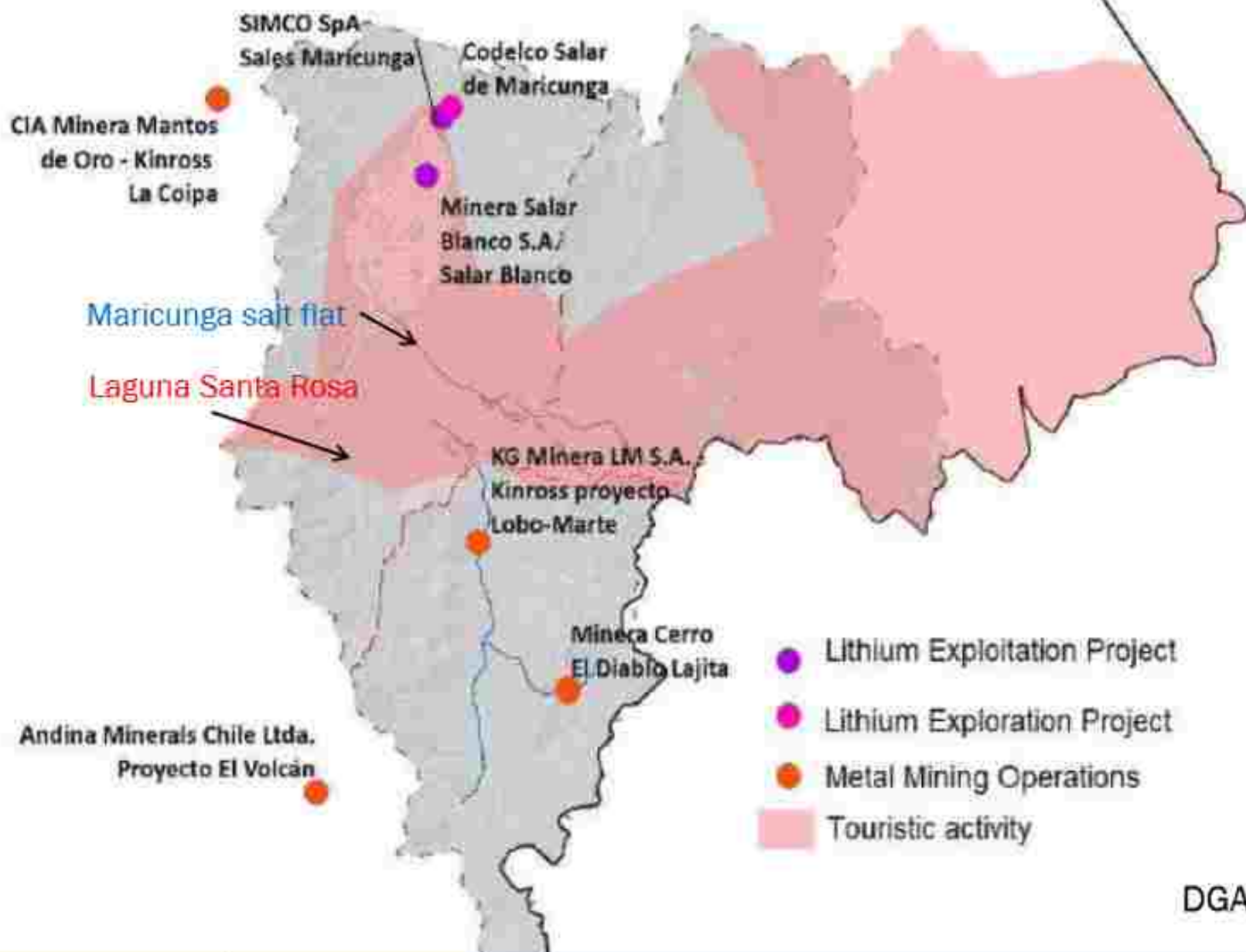


IMPORTANCIA DE LA LAGUNA SANTA ROSA



Laguna Santa Rosa (LSR), Salar de Maricunga, Parque Nacional Nevado de Tres Cruces y Corredor Biológico Pantanillo-Ciénaga Redonda que conecta LSR con Laguna del Negro Francisco, que en conjunto forman un sitio Ramsar. Sitios ERB: Sitios prioritarios para la conservación de la biodiversidad según el plan de Estrategia Regional de Biodiversidad (MMA, 2016)

ACTIVIDADES MINERAS Y PROYECTOS DE LITIO



LAGUNA SANTA ROSA



SITUACIÓN ACTUAL

Balance hídrico

Resumen de las entradas y salidas y recálculo para la laguna Santa Rosa

(Fuente de datos: AquaTerra, 2013)

Cuenca	Tipo	Área Km ²	Elevación m.s.n.m	Recarga total l/s	Caudal l/s	Entrada lateral l/s	Evaporación l/s	Salida lateral l/s	Entradas l/s	Salidas l/s	Balance l/s
Salar de Maricunga	Endorreica	2208,8	4265	609,5	1066,3	700,0	1882,9	0,0	2376	1883	-493
Laguna del Negro Francisco		906,0	4547	292,0	702,0	0,0	991,5	0,0	994	992	-2
Laguna Santa Rosa		0,77	3762	609,5	1066,3	700,0	991,5	0,0	2376	992	-1384,9

ESCENARIO EN EL FUTURO

Balance hídrico

Resumen del balance de la oferta y la demanda de la cuenca del salar de Maricunga
(Fuente de datos: AMPHOS 21, 2016)

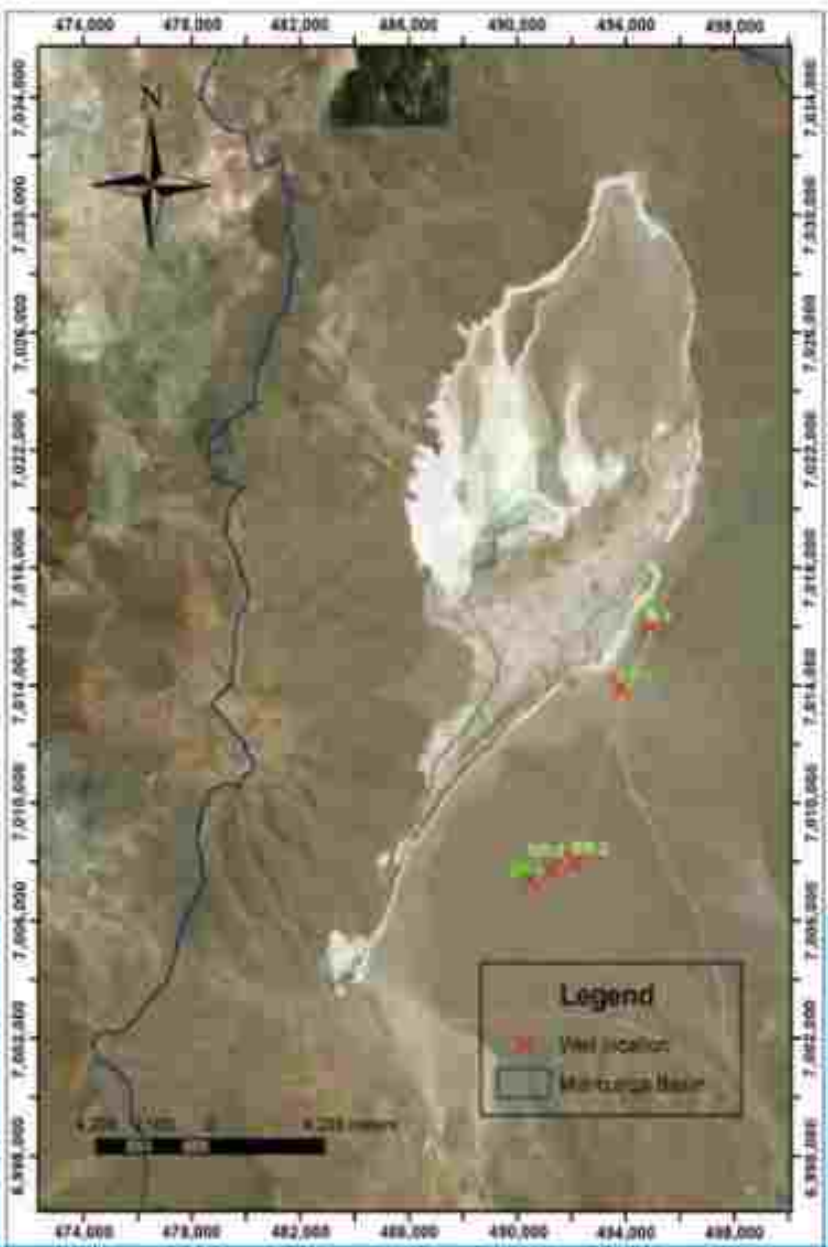
Basin name	Area Km ²	Usage l/s	Water rights awarded l/s *	Water rights (in application) l/s	Total Demand l/s	Balance l/s
Salar de Maricunga	2208.8	2376	2703	330	2720	-344

POZOS OPERATIVOS EN EL SECTOR

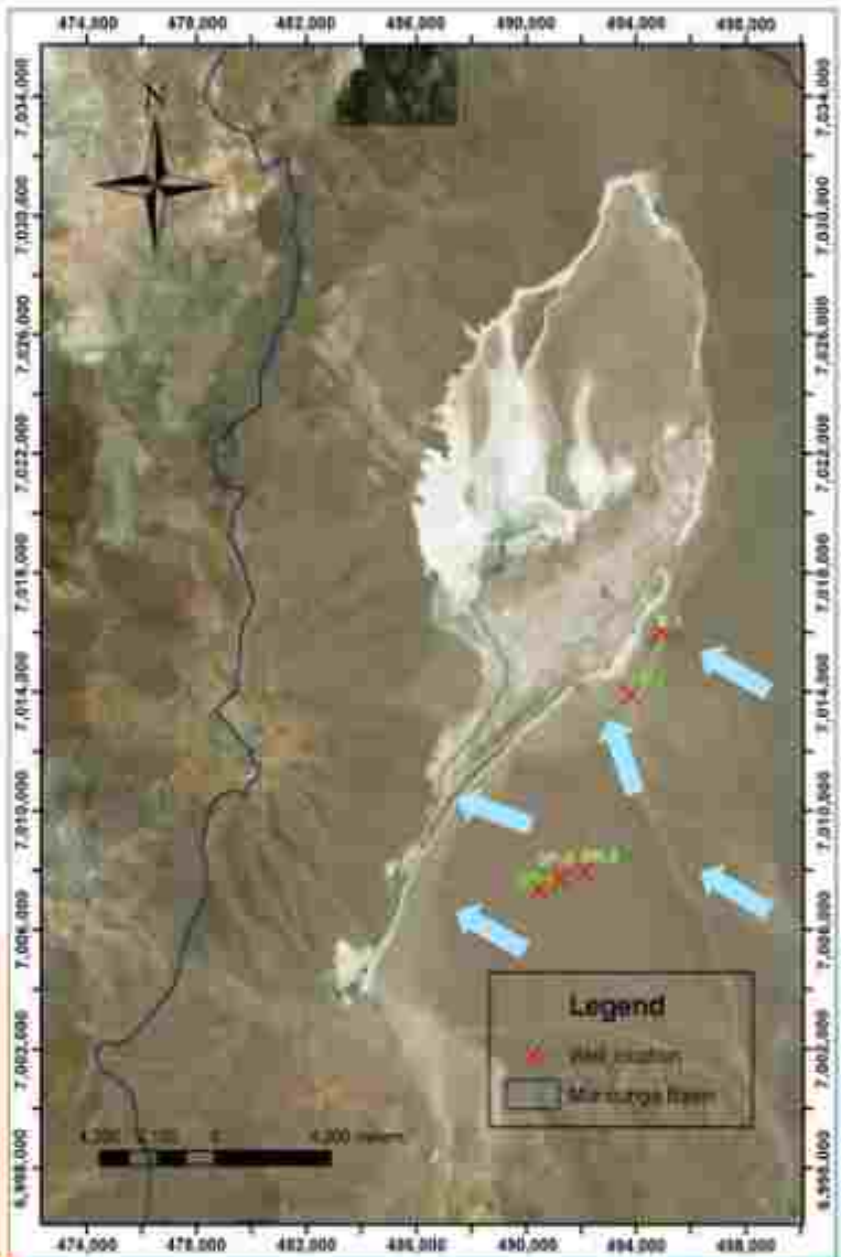
Well	UTM N (m)	UTM E (m)
SP 1	7,014,252	494,000
SP 3	7,008,050	491,451
SP 4	7,007,701	490,652
SR 1	7,016,398	495,151
SR 2	7,008,332	492,332

UTM Datum WGS84, Zona 19S

Fuente de datos: AMPHOS 21 (2016)



FLUJO DE AGUA SUBTERRÁNEA

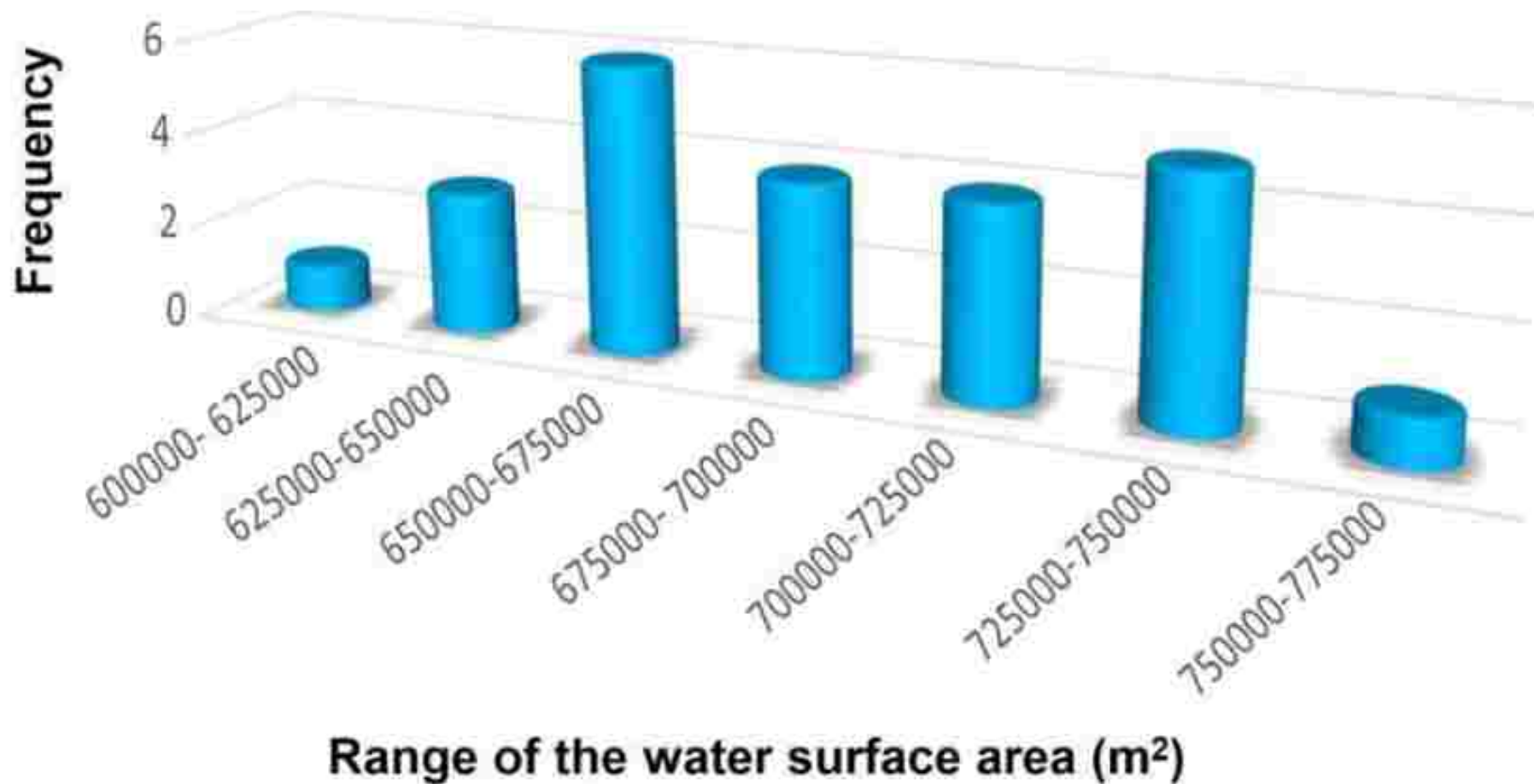


Dirección de las líneas de flujo de agua subterránea (fuente : Iriarte et al., 1999)

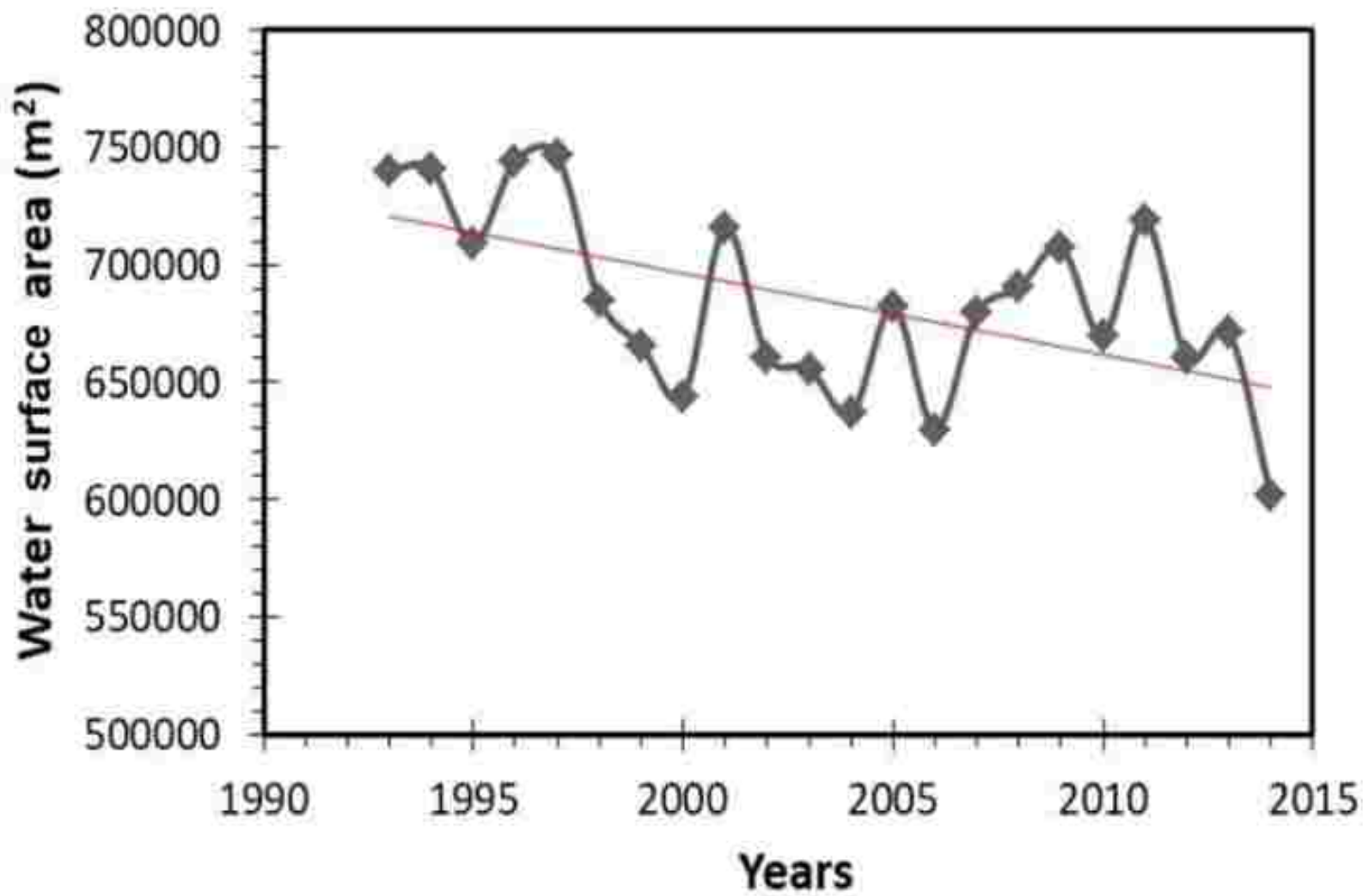
CARACTERÍSTICAS Y COMPORTAMIENTO DEL HUMEDAL



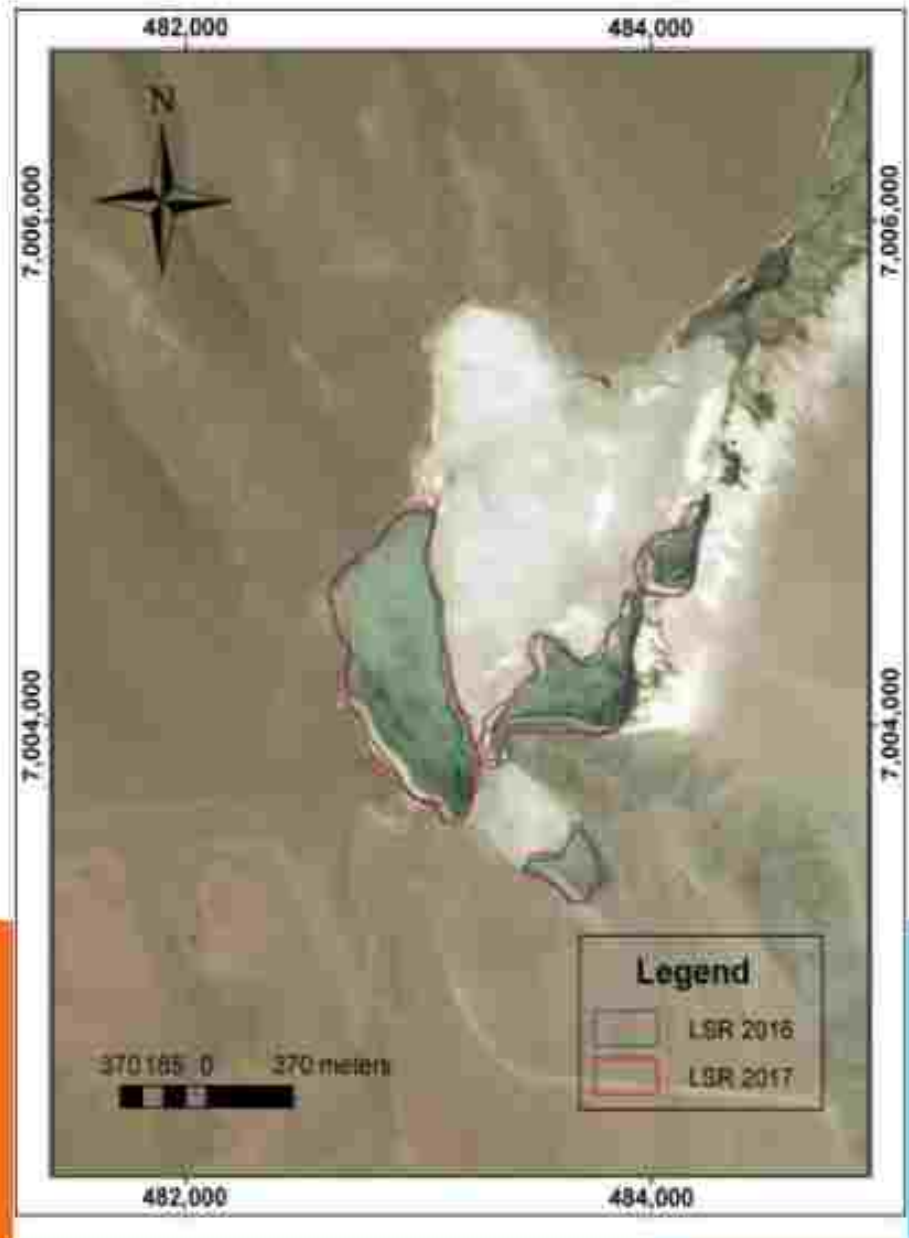
ANÁLISIS DE LAS VARIACIONES (1993-2014)



ANÁLISIS DE LAS VARIACIONES (1993-2014)



ANÁLISIS AÑO HIDROGEOLÓGICO 2016-2017

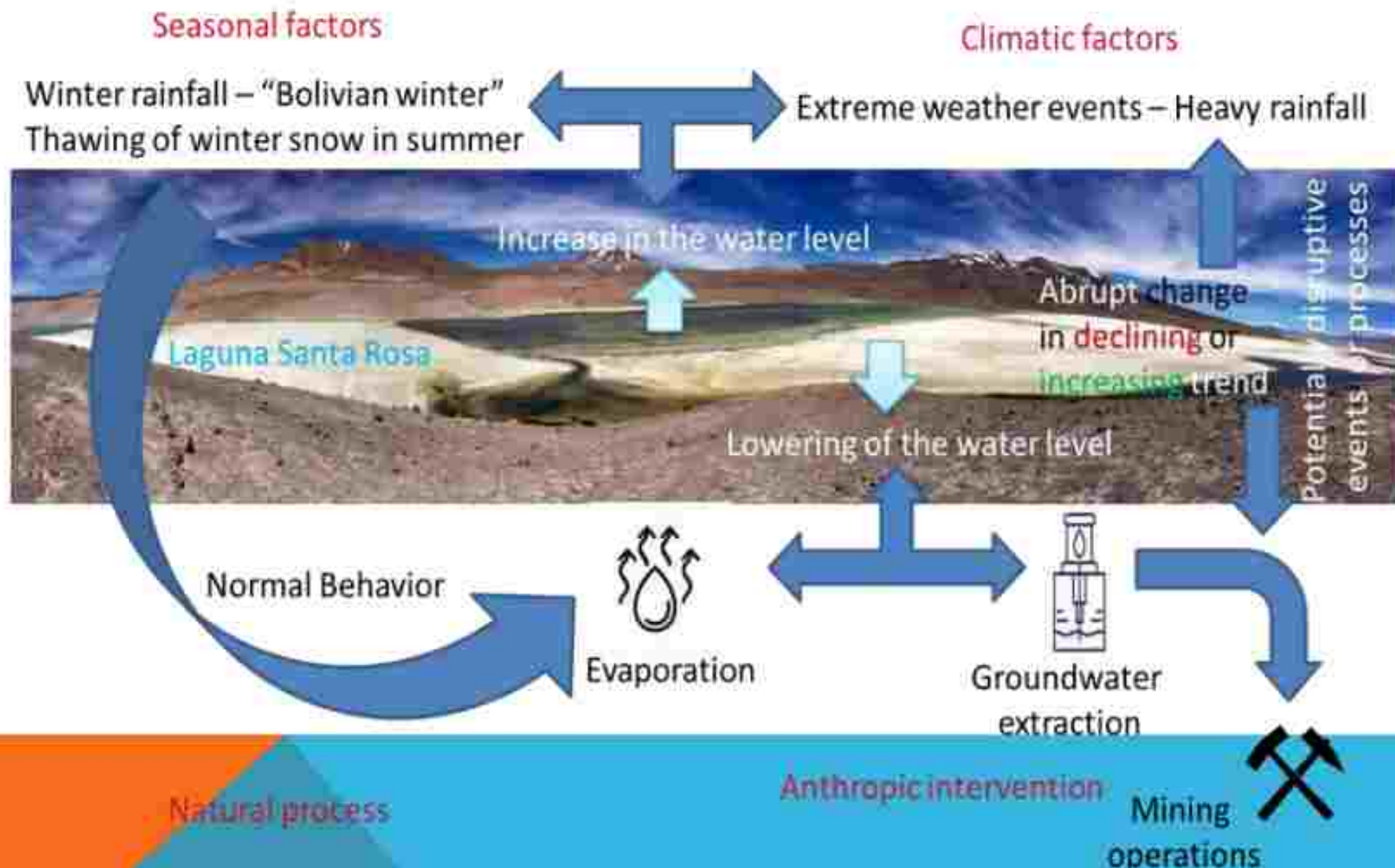


Year	Water surface area (m ²)
Mar 2016	702907,7
Dic 2017	774593,9

A CONSIDERAR ...

- Eventos disruptivos; por ejemplo, las lluvias extremas, la parálisis de las actividades mineras, etc. afectan la tendencia.
- Número de empresas mineras y derechos de agua.
- Disminución de áreas y niveles de agua durante el invierno.
- Aumento de las áreas y los niveles de agua durante el verano.
- Insumos de origen natural – cambio climático.
- Resultados de origen natural y antrópico.
- Proyecto de extracción de litio en el salar de Maricunga.

EN RESUMEN ...



Alam, M.A., Sepúlveda, R., 2022. Environmental degradation through mining for energy resources: The case of the shrinking Laguna Santa Rosa wetland in the Atacama Region of Chile. *Energy Geoscience*, DOI: [10.1016/j.engeos.2021.11.006](https://doi.org/10.1016/j.engeos.2021.11.006).

¡MUCHAS GRACIAS!

Correo: ayaz.alam@usach.cl / ayaz.alam@gmail.com

LinkedIn: <https://www.linkedin.com/in/ayazalam/>

ResearchGate: <https://www.researchgate.net/profile/Mohammad-Ayaz-Alam>